



บทที่ 4 ผลการทดลอง

การดำเนินงานวิจัยครั้งนี้เพื่อออกแบบและสร้างเครื่องผลิตน้ำร้อนพลังงานแสงอาทิตย์แบบแผ่นเรียบ โดยใช้อุตสาหกรรมเป็นสารตัวกลางในการแลกเปลี่ยนความร้อนระหว่างสารอุตสาหกรรมกับน้ำ ปัจจัยที่ต้องคำนึงถึงคือ อุณหภูมิที่ใช้ในการผลิตน้ำร้อน สัมประสิทธิ์การถ่ายเทความร้อนของแผงรับรังสีอาทิตย์ และเบริญเพียงสมรรถนะของเครื่องผลิตน้ำร้อนพลังงานแสงอาทิตย์แบบแผ่นเรียบ โดยใช้อุตสาหกรรมเป็นสารแลกเปลี่ยนความร้อน อุณหภูมิที่มีผลต่ออัตราการผลิตน้ำร้อน ตลอดจนลักษณะเบริญเพียงผลการทดลองที่เกี่ยวกับการถ่ายเทความร้อน และจัดทำแบบจำลองทางคณิตศาสตร์เพื่อเบริญเพียงกับผลที่ได้จากการทดลอง โดยศึกษาในกรณีต่างๆ ในแต่ละกรณี ใช้น้ำที่อุณหภูมิประมาณ 28-32 องศาเซลเซียส ทำการทดลอง 9 กรณีด้วยกัน ในแต่ละกรณีเมื่อเงื่อนไขแตกต่างกันดังนี้

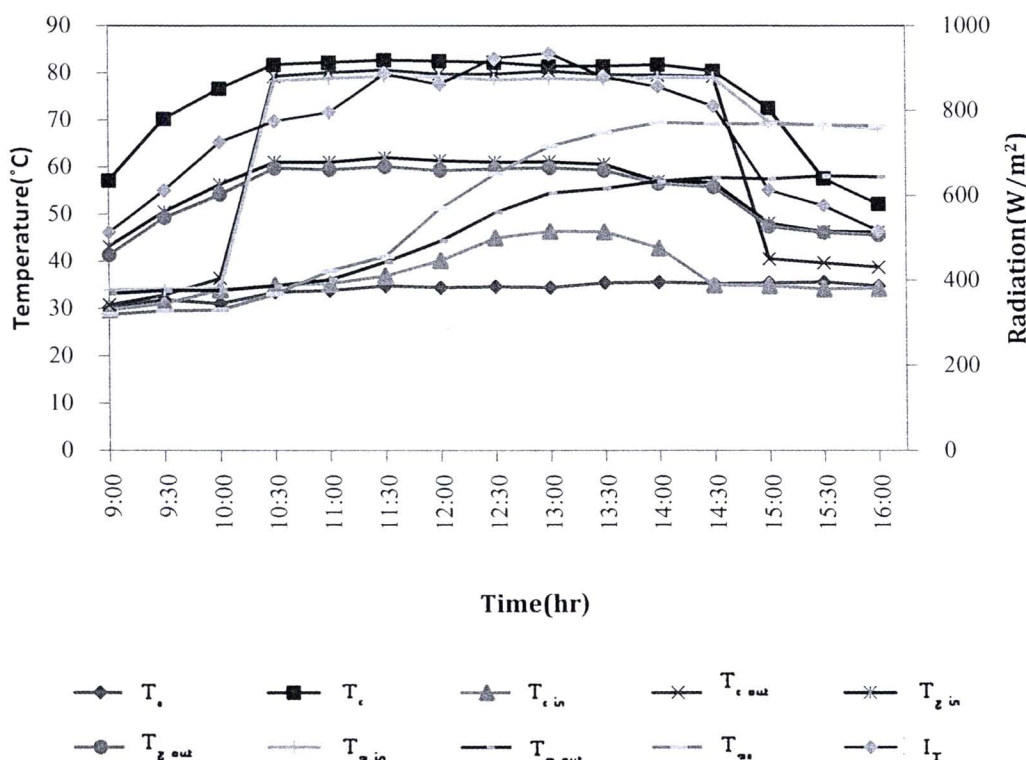
| | | | |
|-----------|--------------|-----------------------------|----------|
| กรณีที่ 1 | ใช้ปริมาณน้ำ | 20 ลิตร และใช้สารอุตสาหกรรม | 2.0 ลิตร |
| กรณีที่ 2 | ใช้ปริมาณน้ำ | 20 ลิตร และใช้สารอุตสาหกรรม | 2.5 ลิตร |
| กรณีที่ 3 | ใช้ปริมาณน้ำ | 20 ลิตร และใช้สารอุตสาหกรรม | 3.0 ลิตร |
| กรณีที่ 4 | ใช้ปริมาณน้ำ | 25 ลิตร และใช้สารอุตสาหกรรม | 2.0 ลิตร |
| กรณีที่ 5 | ใช้ปริมาณน้ำ | 25 ลิตร และใช้สารอุตสาหกรรม | 2.5 ลิตร |
| กรณีที่ 6 | ใช้ปริมาณน้ำ | 25 ลิตร และใช้สารอุตสาหกรรม | 3.0 ลิตร |
| กรณีที่ 7 | ใช้ปริมาณน้ำ | 30 ลิตร และใช้สารอุตสาหกรรม | 2.0 ลิตร |
| กรณีที่ 8 | ใช้ปริมาณน้ำ | 30 ลิตร และใช้สารอุตสาหกรรม | 2.5 ลิตร |
| กรณีที่ 9 | ใช้ปริมาณน้ำ | 30 ลิตร และใช้สารอุตสาหกรรม | 3.0 ลิตร |

4.1 การเปลี่ยนแปลงพลังงานความร้อนของกระบวนการผลิตน้ำร้อนพลังงานแสงอาทิตย์

กระบวนการผลิตน้ำร้อนโดยใช้พลังงานแสงอาทิตย์ มีวิธีการนำพลังงานแสงอาทิตย์มาใช้ในกระบวนการให้ความร้อนแก่น้ำ โดยการสร้างเครื่องผลิตน้ำร้อนพลังงานแสงอาทิตย์แบบแผ่นเรียบ มีแผงรับรังสีจำนวน 1 แผง เพื่อรับพลังงานความร้อนจากแสงอาทิตย์ ใช้สารละลายน้ำอุตสาหกรรมเป็นสารทำงาน ให้เวียนภายในระบบ พากลมร้อนที่แผงรับรังสีอาทิตย์ได้รับ ไปยังอุปกรณ์แลกเปลี่ยนความร้อนภายในถังน้ำเพื่อถ่ายเทความร้อนให้กับน้ำ ทำการทดลองในวันที่ท้องฟ้า万里 ในช่วงระยะเวลาในการทดลอง 09.00-16.00 น. เริ่มทำการทดลอง โดยการเติมน้ำในถังน้ำร้อนและเติมอุตสาหกรรมเข้าไปในถังพักสารอุตสาหกรรมตามกรณีการทดลองจากนั้นสารอุตสาหกรรมจะไหลเข้าไปยังแผงรับรังสีอาทิตย์

(Solar Collector) ขณะสารເອຫານອລໄທລັກຜ່ານແພງຮັບຮັງສື່ອາທິດຢືນກວມຮ້ອນຈາກຮັງສື່ອາທິດຍີ່ຈະຄຸກສ່າງຄ່າຍໃຫ້ກັບສາຣເອຫານອລສ່າງພລໃຫ້ອຸນຫຼວມີສູງຂຶ້ນຈະກະທັ່ງສາຣເອຫານອລຮະເຫຍກລາຍເປັນໄວໃຫ້ລວຍເວີນໄປຢັງລັງເກັນນໍ້າທີ່ອູ້ດ້ານນັ້ນຂອງແພງຮັບຮັງສື່ ຈາກພລກາຮໂຄດລອງເຮົ່າມາຈາກເວລາ 09.00-10.30 ນ. ອຸນຫຼວມີຂອງແພງຮັບຮັງສື່ອາທິດຍີ່ທີ່ຕ້ອງມີອຸນຫຼວມີ 78 ອົງຄາເໜລເຊີຍສ ຂຶ້ນໄປ ສາຣເອຫານອລຈີ່ຈະເຮີມເຄືອດກລາຍເປັນໄວໃຫ້ລວຍເວີນກາຍໃນຮະບນໄປຢັງລັງນໍ້າເພື່ອຄ່າຍເທກວມຮ້ອນໃຫ້ກັນນໍ້າ ລັ້ງຈາກນໍ້າສາຣເອຫານອລຈະເກີດກວບແນ່ນກລາຍເປັນຂອງເໜລວເຂົ້າສູ່ລັ້ງພັກສາຣເອຫານອລ ແລ້ວໃຫ້ກລັບເວີນເຂົ້າສູ່ແພງຮັບຮັງສື່ອາທິດຍີ່ອັກຮັ້ງ ຈະກະທັ່ງກວມເຂັ້ມຂອງຮັງສື່ອາທິດຍີ່ລດລົງ ສາຣເອຫານອລໄມ່ສາມາຮະເຫຍກລາຍເປັນໄວໃດ້ອັກຈິງຫຼຸດກາຮຄ່າຍເທກວມຮ້ອນໃຫ້ກັນນໍ້າ ຂົ້ນມູລໃນກາເປົ້າຍເທິບນໃຫວນທີ່ 1 ຊ.ກ. 53 ເປັນກຣັມທີ່ໃຫ້ປຣິມາລເອຫານອລ 3 ລົດແລກເປົ້າຍກວມຮ້ອນໃຫ້ກັນນໍ້າ 20 ລົດ ພລິຕິນໍ້າຮ້ອນໄດ້ອຸນຫຼວມີສູງທີ່ສຸດ ຄືອ 69 ອົງຄາເໜລເຊີຍສ ທີ່ເປັນອຸນຫຼວມີທີ່ສູງທີ່ສຸດຈາກກາຮໂຄດລອງທັ້ງ 9 ກຣັມ

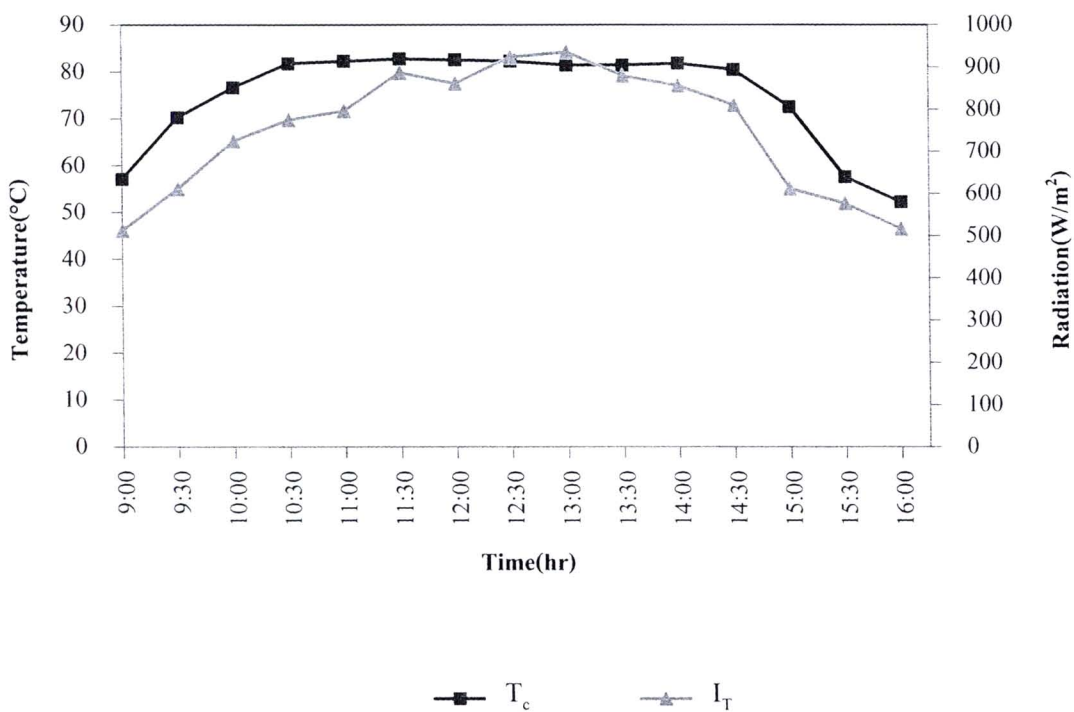
4.1.1 ແສດງອຸນຫຼວມີຕຳແໜ່ງຕ່າງໆ ຂອງເຄົ່ອງພລິຕິນໍ້າຮ້ອນພລັງຈານແສງອາທິດຍີ່ແພນແຜ່ນເຮີນໂດຍໃຫ້ເອຫານອລເປັນສາຣແລກເປົ້າຍກວມຮ້ອນ



ຮູບທີ່ 4.1 ແສດງພລຈາກກາຮໂຄດວັນຈີ່ອຸນຫຼວມີທີ່ຕຳແໜ່ງຕ່າງໆ ຂອງເຄົ່ອງພລິຕິນໍ້າຮ້ອນພລັງຈານແສງອາທິດຍີ່ແພນແຜ່ນເຮີນໂດຍໃຫ້ເອຫານອລເປັນສາຣແລກເປົ້າຍກວມຮ້ອນ

จากรูปที่ 4.1 แสดงผลจากการตรวจอุณหภูมิที่ติดแน่นต่างๆของเครื่องผลิตน้ำร้อนพลังงานแสงอาทิตย์แบบแผ่นเรียบ เพื่อเปรียบเทียบให้เห็นลักษณะการรับความร้อนและการถ่ายเทความร้อนของอุปกรณ์แลกเปลี่ยนความร้อนภายในระบบ โดยลักษณะการให้เลวีนของสารอิฐอลูминอยู่กับระดับความเข้มรังสีอาทิตย์ ที่ระดับความเข้มรังสีอาทิตย์ต่ำกว่า 750 W/m^2 สารอิฐอลูминจะดูดการให้เลวีน และจะให้เลวีนในช่วงระดับความเข้มรังสีอาทิตย์สูงกว่า 750 W/m^2 ขึ้นไป ตลอดช่วงของวัน สารอิฐอลูมิโนเลวีนได้ดีในช่วงเวลา 10.30 - 14.30 น. ส่งผลให้น้ำภายในถังเก็บมีอุณหภูมิสูงขึ้นตามลำดับ

4.1.2 เปรียบเทียบความสัมพันธ์ระหว่างอุณหภูมิอากาศภายนอกและรังสีอาทิตย์

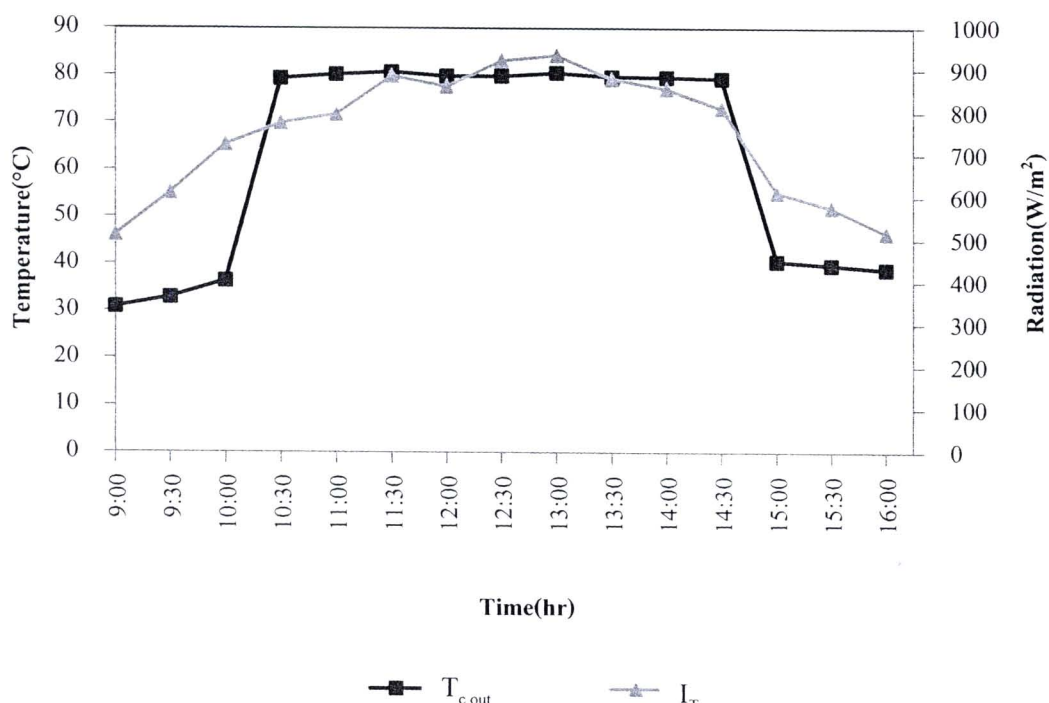


รูปที่ 4.2 เปรียบเทียบการเปลี่ยนแปลงอุณหภูมิอากาศภายนอกและรังสีอาทิตย์

จากรูปที่ 4.2 แสดงความแตกต่างระหว่างอุณหภูมิอากาศภายนอกและรังสีอาทิตย์ พบว่า จากการเก็บข้อมูลทุก ๆ 30 นาที เริ่มต้นเวลา 09.00 น. อุณหภูมิอากาศภายนอกและรังสีอาทิตย์ เริ่มทำการทดลองอยู่ที่ $57.09 \text{ องศาเซลเซียส}$ เนื่องจากการรับรังสีอาทิตย์สะสมไว้ภายในช่วงก่อนเวลา 09.00 น. จากนั้นอุณหภูมิจะเพิ่มขึ้นตามระดับความเข้มของรังสีอาทิตย์ ช่วงเวลา 09.00 - 10.30 น. อุณหภูมิอากาศภายนอกและรังสีจะเพิ่มขึ้นอย่างต่อเนื่อง ส่วนช่วงเวลา 10.30 - 14.30 น. อุณหภูมิอากาศภายนอกและรังสีจะค่อนข้างคงที่ เคลื่อนย้ายที่ 81 องศาเซลเซียส ซึ่ง

เป็นอุณหภูมิที่เพียงพอที่จะทำให้การทำงานอลถึงจุดเดือด เนื่องจากอุณหภูมิจุดเดือดอยู่ที่ 78 องศาเซลเซียส ส่วนอุณหภูมิอากาศภายในแผงรับรังสีสูงสุด 82.7 องศาเซลเซียส ที่เวลา 11.30 น. และเริ่มลดลงในช่วงเวลา 14.30 - 16.00 น. จากราฟที่แสดงผลอุณหภูมิอากาศภายในแผงรับรังสีจะเพิ่มขึ้นหรือลดลง ขึ้นอยู่กับค่ารังสีอาทิตย์ในแต่ละช่วงของวัน หากมีเมฆบดบังค่ารังสีอาทิตย์ก็จะลดลง

4.1.3 เปรียบเทียบความสัมพันธ์ระหว่างอุณหภูมิอุตสาหกรรมกับอุณหภูมิอากาศภายในแผงรับรังสี

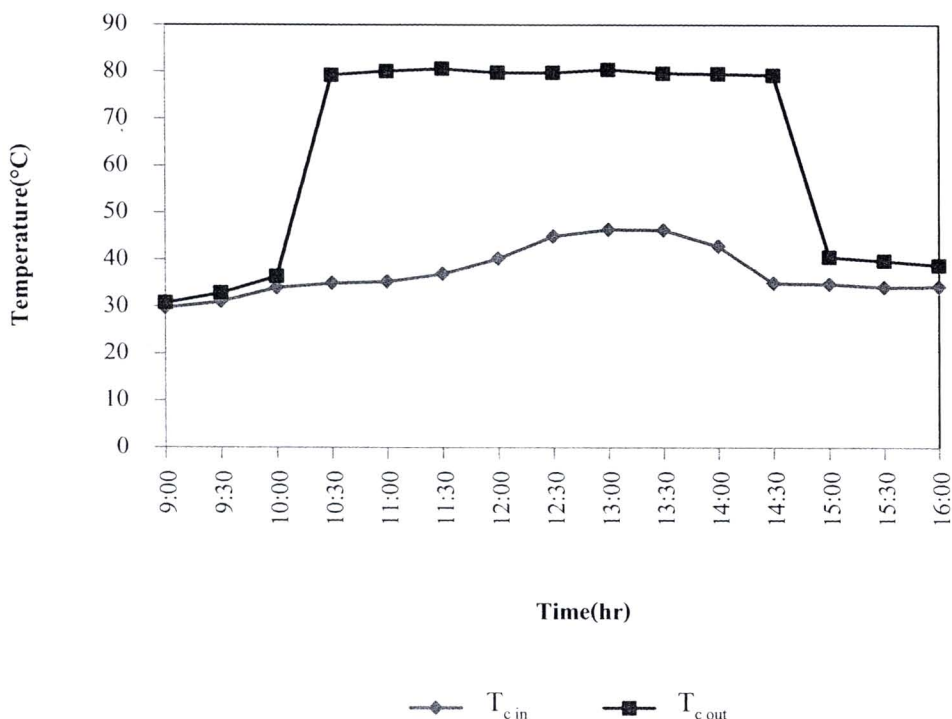


รูปที่ 4.3 ความสัมพันธ์ระหว่างอุณหภูมิอุตสาหกรรมกับอุณหภูมิอากาศภายในแผงรับรังสี

จากรูปที่ 4.3 แสดงความสัมพันธ์ระหว่างอุณหภูมิอุตสาหกรรมกับอุณหภูมิอากาศภายในแผงรับรังสี พบว่า อุณหภูมิอุตสาหกรรมจากแผงรับรังสีอาทิตย์ เริ่มทดลองเวลา 09.00 น. อุณหภูมิ 30.73 องศาเซลเซียส จากการเก็บข้อมูลทุก ๆ 30 นาที อุณหภูมิอุตสาหกรรมจากแผงรับรังสีไกล์เคียงกับอุณหภูมิสิ่งแวดล้อมและจะเพิ่มขึ้นตามระดับความเข้มของรังสีอาทิตย์ ส่วนช่วงเวลา 10.30 - 14.30 น. จะมีอุณหภูมิเฉลี่ยอยู่ที่ 78.78 องศาเซลเซียส จากราฟที่แสดงผลอุณหภูมิอุตสาหกรรมจากแผงรับรังสีอาทิตย์จะเพิ่มขึ้นหรือลดลง ขึ้นอยู่กับค่ารังสีอาทิตย์ในแต่ละช่วงของวัน พบว่าที่ระดับความเข้มสูงกว่า 750 W/m² ขึ้นไปสารอุตสาหกรรมจะเดือดภายใน 10 นาที ให้เวียนภายในระบบ และยังพบว่าอุณหภูมิอุตสาหกรรมจากแผงรับรังสีอาทิตย์ค่อนข้างคงที่ ประมาณ 78 องศาเซลเซียส ในช่วงเวลา 10.30 - 14.30 น. เนื่องจากภายใน

ระบบผลิตน้ำร้อนไม่มีแรงดัน จึงไม่สามารถทำให้อุณหภูมิโioxองออกงานลดลงขึ้นกว่าอุณหภูมิจุดเดือดได้

4.1.4 เปรียบเทียบความสัมพันธ์ระหว่างอุณหภูมิสารออกงานอลเข้าและออกจากแพงรับรังสีอาทิตย์

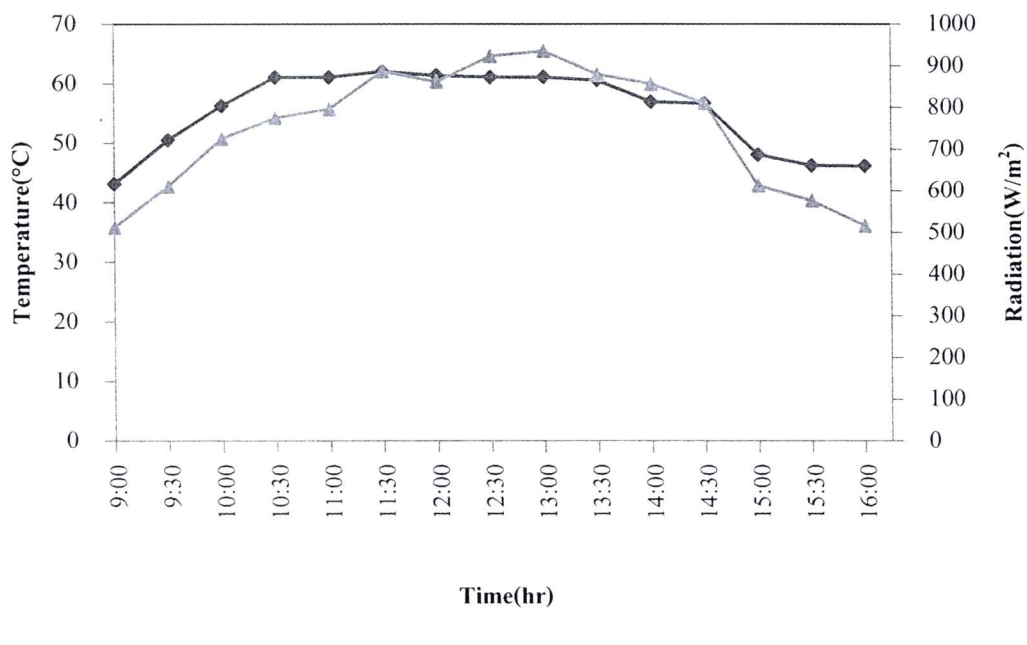


รูปที่ 4.4 ความสัมพันธ์ระหว่างอุณหภูมิสารออกงานอลเข้าและออกจากแพงรับรังสีอาทิตย์

จากรูปที่ 4.4 แสดงความสัมพันธ์ระหว่างสารออกงานอลเข้าและออกจากแพงรับรังสีอาทิตย์ พบร่วมกับอุณหภูมิก่อนเข้าแพง เริ่มทดลองเวลา 09.00 น. ที่อุณหภูมิ 30.16 องศาเซลเซียส จากการเก็บข้อมูลทุกๆ 30 นาที อุณหภูมิก่อนเข้าแพงใกล้เคียงกับอุณหภูมิตั้งแวดล้อมและจะเพิ่มขึ้นเล็กน้อยตามลำดับ โดยมีอุณหภูมิสูงสุดที่ 46.37 องศาเซลเซียส ที่เวลา 13.00 น. ซึ่งมีผลมาจากการอุณหภูมิจากแพงรับรังสีและอุณหภูมน้ำร้อนที่เพิ่มขึ้น และจะเริ่มลดลงในช่วงเวลา 14.30 - 16.00 น. เนื่องมาจากการออกงานอลหมุน之力 ให้ผลวิญญาณในระบบ ส่วนอุณหภูมิออกจากแพงรับรังสีอาทิตย์ เริ่มทดลองเวลา 09.00 น. ที่อุณหภูมิ 30.73 องศาเซลเซียส จากนั้นอุณหภูมิจะเพิ่มสูงขึ้นอย่างรวดเร็ว จนกระทั่งอุณหภูมิเฉลี่ยอยู่ที่ 78.76 องศาเซลเซียส ช่วงเวลา 10.30 – 14.30 น. และอุณหภูมิเริ่มลดลงเมื่อระดับความเข้มของแสงอาทิตย์เริ่มลดน้อยลง จนกระทั่งเวลา 16.00 น. อุณหภูมิอยู่ที่ 38.77 องศาเซลเซียส จากกราฟที่แสดงผลอุณหภูมิสารออกงานอลเข้าแพงรับรังสีอาทิตย์ จะมีอุณหภูมิใกล้เคียงกับบรรยายกาศอันเนื่องมาจากได้ถ่ายเทความร้อนให้กับน้ำ ภายในถังน้ำร้อน และไอลอกลับมายังแพงรับรังสี ส่วน

ช่วงเวลา 12.00 – 14.30 น. อุณหภูมิจะเพิ่มขึ้นเล็กน้อยอันเนื่องมาจากการน้ำภายในถังเก็บ มีอุณหภูมิสูงขึ้น ส่วนอุณหภูมิอุ่นของอุณหภูมิจากแสงรังสีอาทิตย์จะมีอุณหภูมิเพิ่มขึ้นหรือลดลง ขึ้นอยู่กับค่ารังสีอาทิตย์ในแต่ละช่วงของวัน โดย จะทำงานได้ในช่วงเวลา 10.30 – 14.30 น.

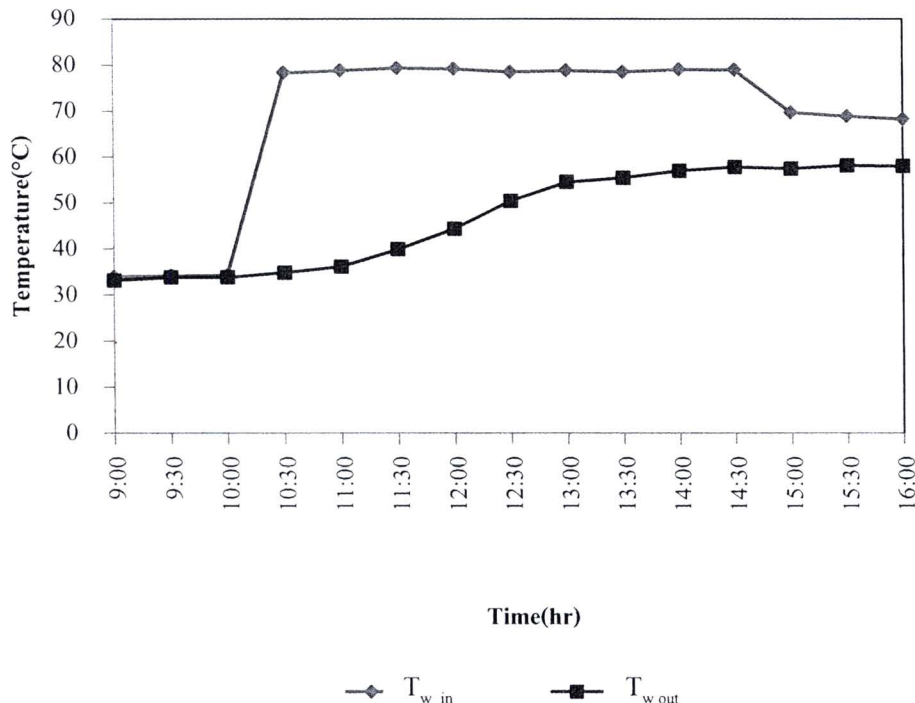
4.1.5 เปรียบเทียบความสัมพันธ์ระหว่างอุณหภูมิกระจุกกับค่ารังสีอาทิตย์



รูปที่ 4.5 ความสัมพันธ์ของอุณหภูมิกระจุกกับระดับความเข้มของรังสีอาทิตย์

จากรูปที่ 4.5 แสดงความแตกต่างระหว่างอุณหภูมิกระจุกกับระดับความเข้มของรังสีอาทิตย์ พนว่า อุณหภูมิกระจุกช่วงเริ่มต้นการทดลองจะมีอุณหภูมิใกล้เคียงกับบรรยายกาศ เริ่มทดลองเวลา 09.00 น. ที่ อุณหภูมิ 43.13 องศาเซลเซียส จากนั้นอุณหภูมิจะเพิ่มขึ้นตามระดับความเข้มของรังสีอาทิตย์ โดยมี อุณหภูมิสูงสุดที่ 62.01 องศาเซลเซียส ที่เวลา 11.30 น. และเริ่มลดลงจนกระทั่งเวลา 16.00 น. อุณหภูมิอยู่ที่ 46.17 องศาเซลเซียส จากกราฟจะเห็นได้ว่าอุณหภูมิของกระจุกจะขึ้นอยู่กับค่ารังสีอาทิตย์ แต่ อุณหภูมิจะไม่สูงมากนัก เนื่องมาจากกระจุกสัมผัสกับอากาศโดยตรง มีการถ่ายเทความร้อนให้กับ บรรยายกาศได้เร็ว

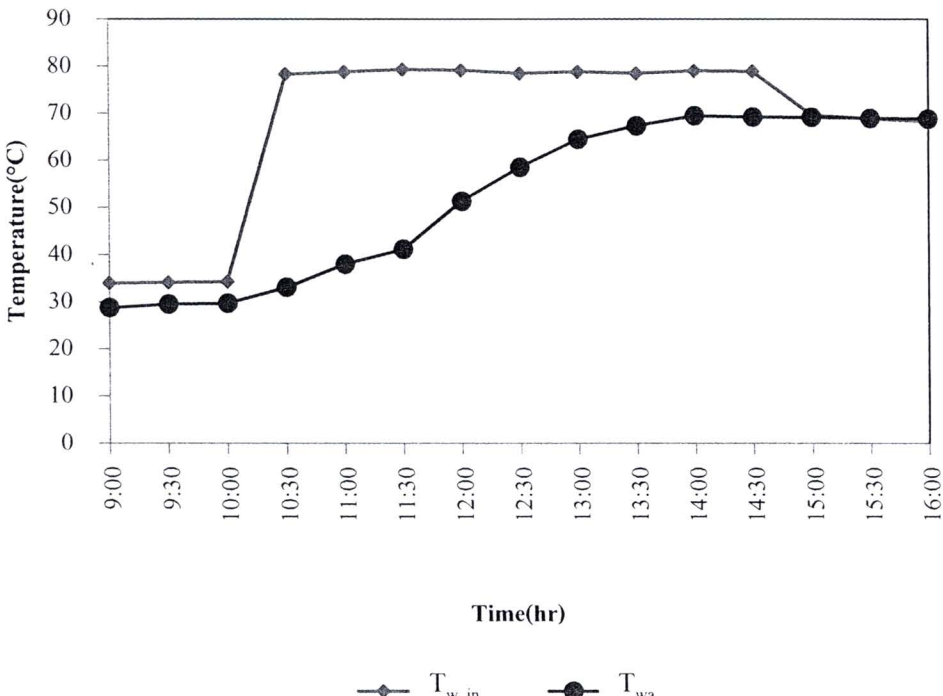
4.1.6 เปรียบเทียบความสัมพันธ์ระหว่างอุณหภูมิอุตสาหกรรมและอุณหภูมิสภาพอากาศในช่วงบ่ายวัน



รูปที่ 4.6 ความสัมพันธ์ของอุณหภูมิอุตสาหกรรมและอุณหภูมิสภาพอากาศในช่วงบ่ายวัน

จากรูปที่ 4.6 แสดงความสัมพันธ์ของอุณหภูมิเข้าถังน้ำร้อนกับอุณหภูมิอุตสาหกรรมในช่วงบ่ายวัน พบว่า อุณหภูมิก่อนเข้าແงรับรังสี เริ่มทดลองเวลา 09.00 น. ที่ อุณหภูมิ 33.93 องศาเซลเซียส จนกระทั่ง เวลา 10.30 น. อุณหภูมิจะเพิ่มสูงขึ้นอย่างรวดเร็วเนื่องจากสารอุตสาหกรรมเริ่มเดือดกลาญเป็น ไอ ไอลเวียนภายในระบบ ช่วงเวลาที่ระบบผลิตน้ำร้อนได้ดี ที่เวลา 10.30 – 14.30 น. มีอุณหภูมิเฉลี่ยอยู่ที่ 77.64 องศาเซลเซียส จนกระทั่งเวลา 16.00 น. อุณหภูมิอยู่ที่ 68.15 องศาเซลเซียส ส่วนอุณหภูมิออก จากถังน้ำร้อน เริ่มทดลองเวลา 09.00 น. ที่ อุณหภูมิ 33.11 องศาเซลเซียส ซึ่งอุณหภูมิจะใกล้เคียงกับ อุณหภูมิเข้าถังน้ำร้อน จากนั้นอุณหภูมิจะเพิ่มสูงขึ้นตามอุณหภูมิของน้ำร้อนที่เพิ่มสูงขึ้น อุณหภูมิ สูงสุดที่ 58.07 องศาเซลเซียส ที่เวลา 15.30 น. จากราฟที่แสดงผลอุณหภูมิอุตสาหกรรมและเข้าถังน้ำร้อน ที่เวลา 10.30 น. อุณหภูมิจะเพิ่มขึ้นอย่างรวดเร็ว อันเนื่องมาจากการอุตสาหกรรมได้รับค่ารังสีอาทิตย์ มากกว่า 750 W/m^2 สามารถเดือดกลาญเป็น ไอ ไอลเวียนเข้าถังน้ำร้อนเพื่อแตกเปลี่ยนความร้อนให้กับ น้ำภายในถังเก็บน้ำร้อน ส่วนอุณหภูมิอุตสาหกรรมและอุณหภูมิสภาพอากาศในช่วงบ่ายวันเริ่มต้นการทดลองจะมีอุณหภูมิ ใกล้เคียงกับบรรยายกาศ และจะเพิ่มสูงขึ้นเนื่องจากได้รับอุณหภูมิของน้ำร้อนภายในถังน้ำร้อนที่เพิ่ม สูงขึ้น

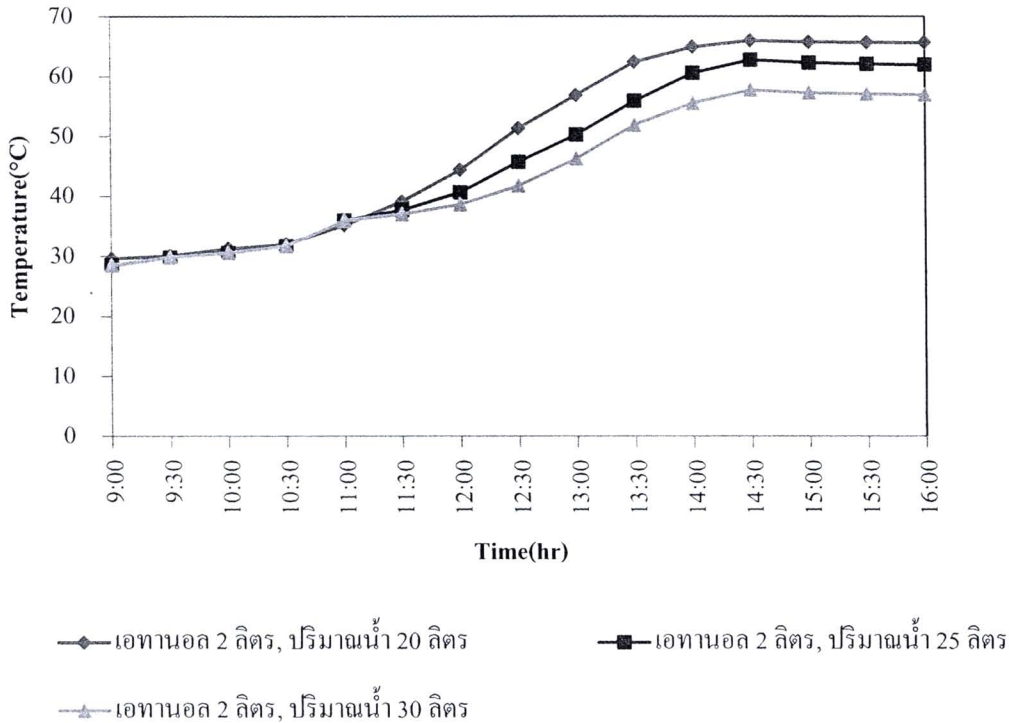
4.1.7 เปรียบเทียบความสัมพันธ์ระหว่างอุณหภูมิอุตสาหกรรมกับอุณหภูมน้ำร้อน



รูปที่ 4.7 ความสัมพันธ์ของอุณหภูมิอุตสาหกรรมกับอุณหภูมน้ำร้อน

จากรูปที่ 4.7 แสดงความสัมพันธ์ของอุณหภูมิอุตสาหกรรมกับอุณหภูมน้ำร้อน พนวนา จุดเริ่มต้นของอุณหภูมิอุตสาหกรรมที่ 33.93 องศาเซลเซียส ณ เวลา 09.00 น. ที่อุณหภูมิ 33.93 องศาเซลเซียส ณ เวลา 10.30 น. อุณหภูมิจะเพิ่มสูงขึ้นอย่างรวดเร็ว เนื่องจากสารอุตสาหกรรมเริ่มเดือดภายในเวลา 11.30 น. อุณหภูมิสูงสุด 79.25 องศาเซลเซียสที่เวลา 11.30 น. จนกระทั่งเวลา 16.00 น. อุณหภูมิอยู่ที่ 68.15 องศาเซลเซียส ส่วนอุณหภูมน้ำร้อน เริ่มต้นที่ 28 องศาเซลเซียส ณ เวลา 09.00 น. ที่อุณหภูมิ 31.72 องศาเซลเซียส ซึ่งอุณหภูมิจะใกล้เคียงกับอุณหภูมิอุตสาหกรรมที่ 33.93 องศาเซลเซียส ณ เวลา 10.30 น. จานวนอุณหภูมิจะเพิ่มสูงขึ้น จากการถ่ายเทความร้อนของสารอุตสาหกรรม ผลให้อุณหภูมิในถังร้อนขึ้น จนอุณหภูมิของน้ำร้อน เพิ่มขึ้นสูงสุด 69.42 องศาเซลเซียส ที่เวลา 14:00 น. จากกราฟที่แสดงผลอุณหภูมิอุตสาหกรรมกับอุณหภูมน้ำร้อนจะเห็นได้ว่าจะทำงานได้ในช่วงเวลา 10.30 – 14.30 น. เนื่องมาจากระดับความเข้มร้อนสีอาทิตย์ที่สามารถทำให้สารอุตสาหกรรมเดือดภายในเวลา 14:00 น. ทำให้อุณหภูมน้ำร้อนแฝงไปแลกเปลี่ยนไหกับน้ำได้ดี

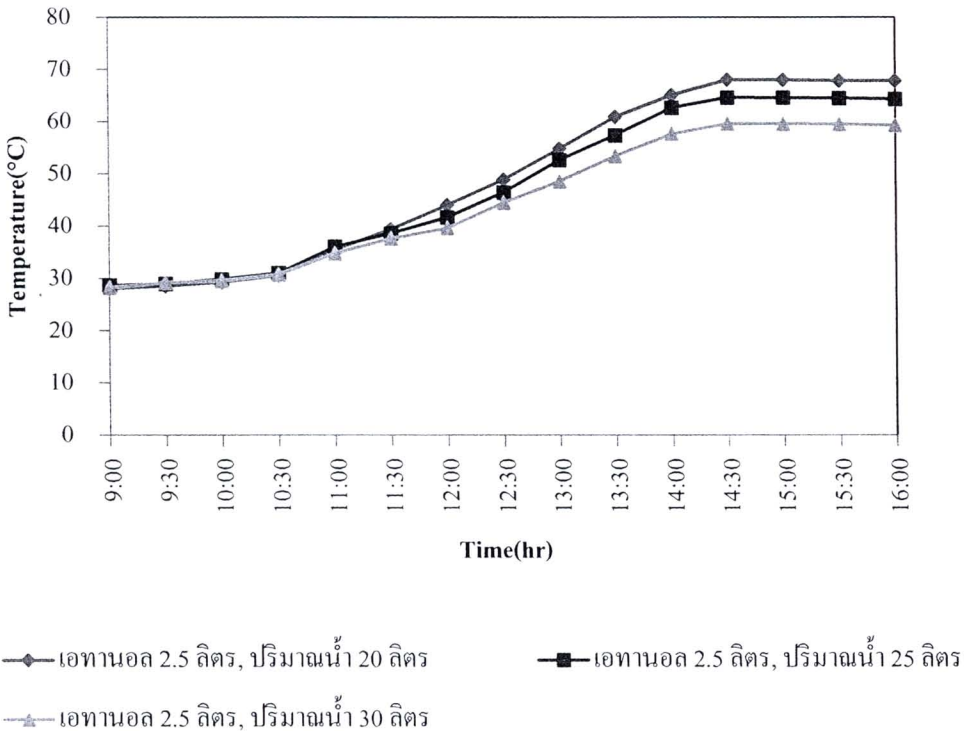
4.1.8 เปรียบเทียบความแตกต่างของอุณหภูมิน้ำร้อนที่ปริมาณเอทานอล 2 ลิตร



รูปที่ 4.8 เปรียบเทียบอุณหภูมน้ำร้อนที่ปริมาณเอทานอล 2 ลิตร

จากรูปที่ 4.8 แสดงความแตกต่างของอุณหภูมน้ำร้อนที่ปริมาณเอทานอล 2 ลิตร ค่ารังสีอาทิตย์ของแต่ละกรณีมีความใกล้เคียงกันมาก พบว่า ที่ปริมาณน้ำ 20 ลิตร อุณหภูมิเริ่มทดลอง ที่อุณหภูมิ 29.57 องศาเซลเซียส จนกระทั่งเวลา 10.30 น. สารเอทานอลเริ่มเดือดกลายเป็นไอไหหัวเวียนภายในระบบ อุณหภูมน้ำร้อนเพิ่มสูงขึ้นสูงสุดที่ 65.97 องศาเซลเซียส ในเวลา 14.30 น. ส่วนที่ปริมาณน้ำ 25 ลิตร อุณหภูมิเริ่มทดลอง ที่อุณหภูมิ 28.44 องศาเซลเซียส จนกระทั่งเวลา 10.30 น. ค่ารังสีอาทิตย์ เพิ่มขึ้น สารเอทานอลเริ่มเดือดกลายเป็นไอไหหัวเวียนภายในระบบ อุณหภูมน้ำร้อนเพิ่มสูงขึ้นสูงสุดที่ 62.73 องศาเซลเซียส ในเวลา 14.30 น. และที่ปริมาณน้ำ 30 ลิตร อุณหภูมิเริ่มทดลอง ที่อุณหภูมิ 28.46 องศาเซลเซียส จนกระทั่งเวลา 10.30 น. สารเอทานอลเริ่มเดือดกลายเป็นไอไหหัวเวียนภายในระบบ อุณหภูมน้ำร้อนเพิ่มสูงขึ้นสูงสุดที่ 57.73 องศาเซลเซียส ในเวลา 14.30 น. จากราฟที่แสดงผล อุณหภูมน้ำร้อนพบว่า ที่ปริมาณน้ำ 20 ลิตร จะได้รับการถ่ายเทความร้อนจากเอทานอลได้ดีกว่าและเร็วกว่า ที่น้ำ 25 และ 30 ลิตร จึงส่งผลให้อุณหภูมิของน้ำสูงกว่า เนื่องจากตลอดช่วงของวันมีข้อจำกัดในเรื่องของเวลาในการผลิตน้ำร้อน คืออยู่ที่ประมาณ 4 ชั่วโมง

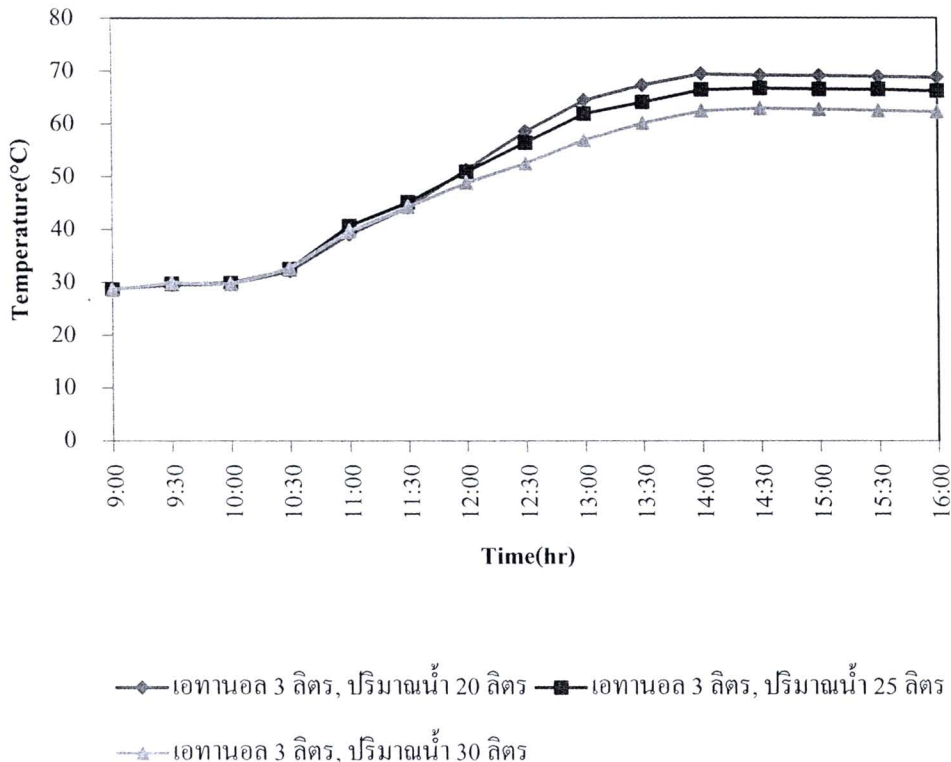
4.1.9 เปรียบเทียบความแตกต่างของอุณหภูมิน้ำร้อนที่ปริมาณเอทานอล 2.5 ลิตร



รูปที่ 4.9 เปรียบเทียบอุณหภูมน้ำร้อนที่ปริมาณเอทานอล 2.5 ลิตร

จากรูปที่ 4.9 แสดงความแตกต่างของอุณหภูมน้ำร้อนที่ปริมาณเอทานอล 2.5 ลิตร ค่ารังสีอาทิตย์ของแต่ละกรณีมีความใกล้เคียงกันมาก เคลื่อนย้ายที่ 862 W/m^2 พนว่า ที่ปริมาณน้ำ 20 ลิตร อุณหภูมิเริ่มทดลอง ที่อุณหภูมิ 28.04 องศาเซลเซียส จนกระทั่งเวลา 10.30 น. สารเอทานอลเริ่มเดือดกลายเป็นไอ ไหหลวียนภายในระบบ อุณหภูมน้ำร้อนเพิ่มสูงขึ้น สูงสุดที่ 67.98 องศาเซลเซียส ในเวลา 14.30 น. ส่วนที่ปริมาณน้ำ 25 ลิตร อุณหภูมิเริ่มทดลอง ที่อุณหภูมิ 28.58 องศาเซลเซียส จนกระทั่งเวลา 10.30 น. สารเอทานอลเริ่มเดือดกลายเป็นไอ ไหหลวียนภายในระบบ อุณหภูมน้ำร้อนเพิ่มสูงขึ้นสูงสุดที่ 64.54 องศาเซลเซียส ในเวลา 14.30 น. และที่ปริมาณน้ำ 30 ลิตร อุณหภูมิเริ่มทดลอง ที่อุณหภูมิ 28.18 องศาเซลเซียส จนกระทั่งเวลา 10.30 น. สารเอทานอลเริ่มเดือดกลายเป็นไอ ไหหลวียนภายในระบบ อุณหภูมน้ำร้อนเพิ่มสูงขึ้นสูงสุดที่ 59.61 องศาเซลเซียส ในเวลา 14.00 น. จากราฟที่แสดงผล อุณหภูมน้ำร้อนพบว่า ที่ปริมาณน้ำ 20 ลิตร จะได้รับการถ่ายเทความร้อนจากสารเอทานอลได้ดีกว่า และเร็วกว่า ที่น้ำ 25 และ 30 ลิตร จึงส่งผลให้อุณหภูมิของน้ำสูงกว่า เป็นลักษณะเช่นเดียวกันกับรูปที่ 4.8

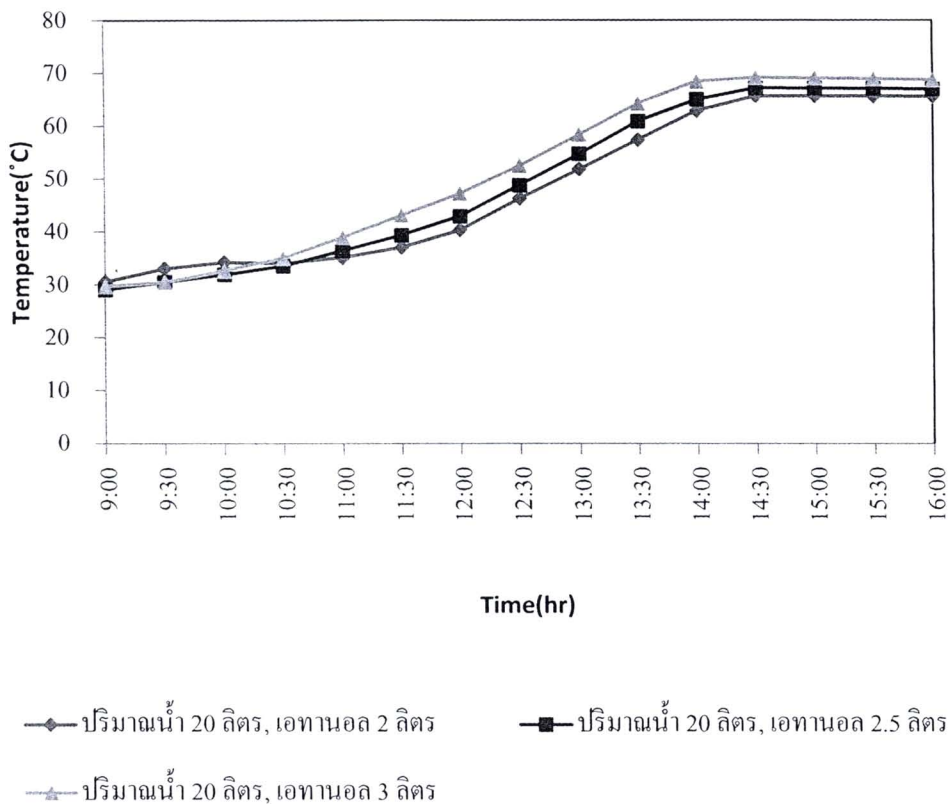
4.1.10 เปรียบเทียบความแตกต่างของอุณหภูมิน้ำร้อนที่ปริมาณเชื้อเพลิง 3 ลิตร



รูปที่ 4.10 เปรียบเทียบอุณหภูมน้ำร้อนที่ปริมาณเชื้อเพลิง 3 ลิตร

จากรูปที่ 4.10 แสดงความแตกต่างของอุณหภูมน้ำร้อนที่ปริมาณเชื้อเพลิง 3 ลิตร ค่ารังสีอาทิตย์ของแต่ละกรณีมีความใกล้เคียงกันมาก เนลลี่ยอยู่ที่ 863 W/m^2 พบว่า ที่ปริมาณน้ำ 20 ลิตร อุณหภูมิเริ่มทดลอง ที่อุณหภูมิ 28.72 องศาเซลเซียส จนกระทั่งเวลา 10.30 น. สารเอทานอลเริ่มเดือดภายในเวลา 14.00 น. ส่วนที่ปริมาณน้ำ 25 ลิตร อุณหภูมิเริ่มทดลอง ที่อุณหภูมิ 28.59 องศาเซลเซียส จนกระทั่งเวลา 10.30 น. สารเอทานอลเริ่มเดือดภายในเวลา 14.30 น. และที่ปริมาณน้ำ 30 ลิตร อุณหภูมิเริ่มทดลอง ที่อุณหภูมิ 28.52 องศาเซลเซียส จนกระทั่งเวลา 10.30 น. สารเอทานอลเริ่มเดือดภายในเวลา 14.30 น. จากราฟที่แสดงผลอุณหภูมน้ำร้อนพบว่า ที่ปริมาณน้ำ 20 ลิตร ซึ่งจะได้รับการถ่ายเทความร้อนจากสารเอทานอลได้ดีกว่า และเร็วกว่า ที่น้ำ 25 และ 30 ลิตร จึงส่งผลให้อุณหภูมิของน้ำสูงกว่า เป็นลักษณะเช่นเดียวกันกับรูปที่ 4.8 และ 4.9

4.1.11 เปรียบเทียบความแตกต่างของอุณหภูมิน้ำร้อนที่ปริมาณน้ำ 20 ลิตร ใช้ปริมาณเอทานอล 2, 2.5 และ 3 ลิตร

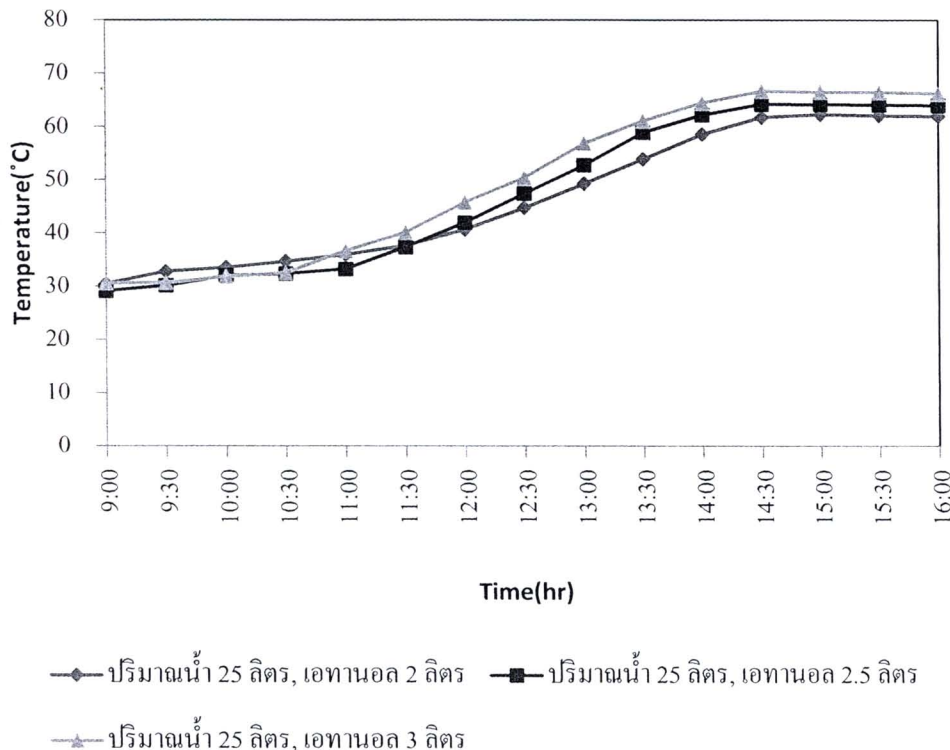


รูปที่ 4.11 เปรียบเทียบอุณหภูมน้ำร้อนที่ปริมาณน้ำ 20 ลิตร ใช้ปริมาณเอทานอล 2, 2.5 และ 3 ลิตร

จากรูปที่ 4.11 แสดงความแตกต่างของอุณหภูมน้ำร้อนที่ปริมาณน้ำ 20 ลิตร โดยใช้ค่ารังสีอาทิตย์ของแต่ละกรณีที่มีความใกล้เคียงกันมาก พบว่า ที่ปริมาณเอทานอล 2 ลิตร อุณหภูมิเริ่มทoclong ที่อุณหภูมิ 30.57 องศาเซลเซียส จันกระทั้งเวลา 10.30 น. สารเอทานอลเริ่มเดือดกลายเป็นไอไหหลวียนภายในระบบ อุณหภูมน้ำร้อนเพิ่มสูงขึ้นสูงสุดที่ 67.70 องศาเซลเซียส ในเวลา 14.30 น. ส่วนที่ปริมาณน้ำ 25 ลิตร อุณหภูมิเริ่มทoclong ที่อุณหภูมิ 29.04 องศาเซลเซียส จันกระทั้งเวลา 10.30 น. สารเอทานอลเริ่มเดือดกลายเป็นไอไหหลวียนภายในระบบ อุณหภูมน้ำร้อนเพิ่มสูงขึ้นสูงสุดที่ 67.18 องศาเซลเซียส ในเวลา 14.30 น. และที่ปริมาณน้ำ 30 ลิตร อุณหภูมิเริ่มทoclong ที่อุณหภูมิ 29.72 องศาเซลเซียส จันกระทั้งเวลา 10.30 น. สารเอทานอลเริ่มเดือดกลายเป็นไอไหหลวียนภายในระบบ อุณหภูมน้ำร้อนเพิ่มสูงขึ้นสูงสุดที่ 69.15 องศาเซลเซียส ในเวลา 14.30 น. จากกราฟที่แสดงผลอุณหภูมน้ำร้อนพบว่า ที่ปริมาณเอทานอล 3 ลิตร จะมีอัตราการไหของสารเอทานอลไปถ่ายเทความร้อนให้กับน้ำที่มากกว่า

จึงส่งผลให้อุณหภูมิของน้ำสูงกว่า ส่วนที่ 2 และ 2.5 ก็จะน้อยลงตามอัตราการไหลดของสารเอกทานอล ตามลำดับ

4.1.12 เปรียบเทียบความแตกต่างของอุณหภูมน้ำร้อนที่ปริมาณน้ำ 25 ลิตร ใช้ปริมาณเอกทานอล 2, 2.5 และ 3 ลิตร

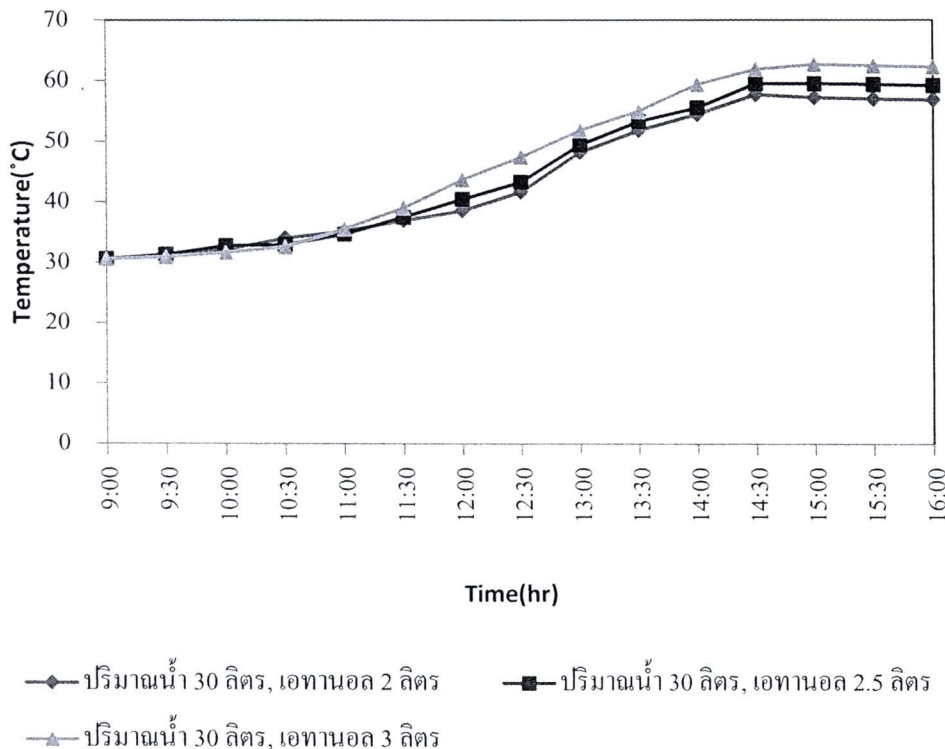


รูปที่ 4.12 เปรียบเทียบอุณหภูมน้ำร้อนที่ปริมาณน้ำ 25 ลิตร ใช้ปริมาณเอกทานอล 2, 2.5 และ 3 ลิตร

จากรูปที่ 4.12 แสดงความแตกต่างของอุณหภูมน้ำร้อนที่ปริมาณน้ำ 25 ลิตร ค่ารังสีออาทิตย์ของแต่ละกรณีมีความใกล้เคียงกันมาก พบว่า ที่ปริมาณเอกทานอล 2 ลิตร อุณหภูมิเริ่มทดสอบ ที่อุณหภูมิ 30.44 องศาเซลเซียส จนกระทั่งเวลา 10.30 น. สารเอกทานอลเริ่มเดือดกลายเป็นไออกไซนิกายในระบบ อุณหภูมน้ำร้อนเพิ่มสูงขึ้นสูงสุดที่ 62.73 องศาเซลเซียส ในเวลา 14.30 น. ส่วนที่ปริมาณน้ำ 25 ลิตร อุณหภูมิเริ่มทดสอบ ที่อุณหภูมิ 29.07 องศาเซลเซียส จนกระทั่งเวลา 10.30 น. สารเอกทานอลเริ่มเดือดกลายเป็นไออกไซนิกายในระบบ อุณหภูมน้ำร้อนเพิ่มสูงขึ้น สูงสุดที่ 67.18 องศาเซลเซียสในเวลา 14.30 น. และที่ปริมาณน้ำ 30 ลิตร อุณหภูมิเริ่มทดสอบ ที่อุณหภูมิ 30.59 องศาเซลเซียส จนกระทั่งเวลา 10.30 น. สารเอกทานอลเริ่มเดือดกลายเป็นไออกไซนิกายในระบบ อุณหภูมน้ำร้อนเพิ่มสูงขึ้น สูงสุดที่ 66.68 องศาเซลเซียส ในเวลา 14.30 น. จากกราฟที่แสดงผลอุณหภูมน้ำร้อนพบว่าที่ปริมาณ

เอทานอลมากกว่า คือที่ 3 ลิตร จะมีอัตราการไหหลังสารเอทานอลไปถ่ายเทความร้อนให้กับน้ำได้มาก จึงส่งผลให้อุณหภูมิของน้ำสูงกว่า ส่วนที่ 2 และ 2.5 ก็จะน้อยลงตามอัตราการไหหลังสารเอทานอล ซึ่งจะเป็นลักษณะเดียวกันกับรูปที่ 4.11

4.1.13 เปรียบเทียบความแตกต่างของอุณหภูมน้ำร้อนที่ปริมาณน้ำ 30 ลิตร

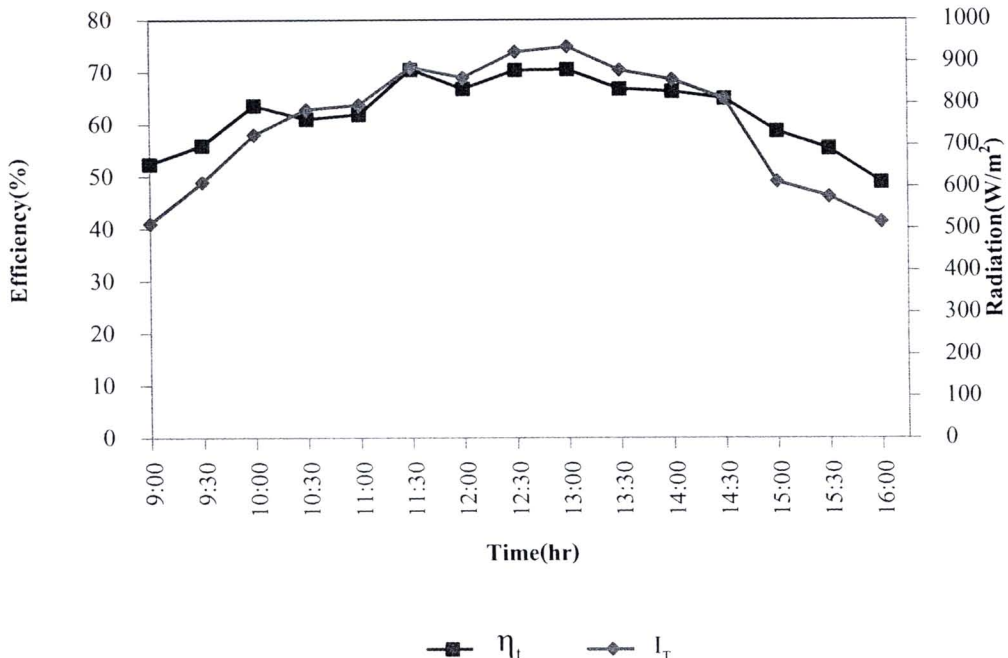


รูปที่ 4.13 เปรียบเทียบอุณหภูมน้ำร้อนที่ปริมาณน้ำ 30 ลิตร

จากรูปที่ 4.13 แสดงความแตกต่างของอุณหภูมน้ำร้อนที่ปริมาณน้ำ 30 ลิตร ค่ารังสีอาทิตย์ของแต่ละกรณีมีความใกล้เคียงกันมาก พบว่า ที่ปริมาณเอทานอล 2 ลิตร อุณหภูมิเริ่มทดลอง ที่อุณหภูมิ 30.42 องศาเซลเซียส จนกระทั่งเวลา 10.30 น. สารเอทานอลเริ่มเดือดภายใน ไอไหหลังเวียนภายในระบบ อุณหภูมน้ำร้อนเพิ่มสูงขึ้นสูงสุดที่ 77.73 องศาเซลเซียส ในเวลา 14.30 น. ส่วนที่ปริมาณน้ำ 25 ลิตร อุณหภูมิเริ่มทดลอง ที่อุณหภูมิ 30.58 องศาเซลเซียส จนกระทั่งเวลา 10.30 น. สารเอทานอลเริ่มเดือดภายใน ไอไหหลังเวียนภายในระบบ อุณหภูมน้ำร้อนเพิ่มสูงขึ้นสูงสุดที่ 59.54 องศาเซลเซียส ที่เวลา 14.30 น. และที่ปริมาณน้ำ 30 ลิตร อุณหภูมิเริ่มทดลองที่ 30.52 องศาเซลเซียส จนกระทั่งเวลา 10.30 น. สารเอทานอลเริ่มเดือดภายใน ไอไหหลังเวียนภายในระบบ อุณหภูมน้ำร้อนเพิ่มสูงขึ้นสูงสุดที่ 62.88 องศาเซลเซียส ในเวลา 14.30 น. จากกราฟที่แสดงผลอุณหภูมน้ำร้อนพบว่าที่ปริมาณเอทานอล

มากกว่า คือที่ 3 ลิตร จะมีอัตราการ ไอลของสารเอทานอลไปถ่ายเทความร้อนให้กับน้ำได้มาก จึงส่งผลให้อุณหภูมิของน้ำสูงกว่า ส่วนที่ 2 และ 2.5 ก็จะน้อยลงตามอัตราการ ไอลของสารเอทานอล ซึ่งจะเป็นลักษณะเดียวกันกับรูปที่ 4.11 และรูปที่ 4.12

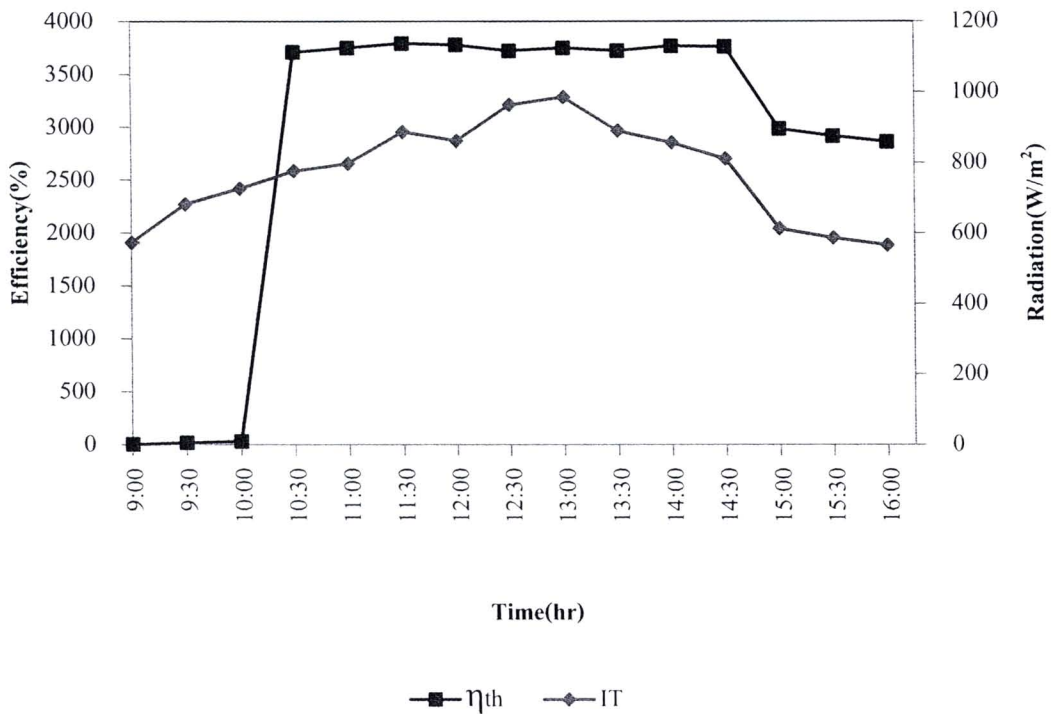
4.1.14 เปรียบเทียบความสัมพันธ์ระหว่างประสิทธิภาพของแผงรับรังสีอาทิตย์กับค่ารังสีอาทิตย์



รูปที่ 4.14 เปรียบเทียบประสิทธิภาพของแผงรับรังสีอาทิตย์กับค่ารังสีอาทิตย์

จากรูปที่ 4.14 แสดงความสัมพันธ์ของประสิทธิภาพของแผงรับรังสีอาทิตย์ จะเป็นดังนี้ที่ใช้บอกความสามารถในการเปลี่ยนพลังงานที่ได้จากแสงอาทิตย์ที่ติดกระทน แล้วเปลี่ยนเป็นพลังงาน ความร้อน ค่าประสิทธิภาพของแผงรับรังสีอาทิตย์หายใจจาก ปริมาณความร้อนที่แผงรับรังสีอาทิตย์ ได้รับต่อผลคูณของปริมาณรังสีอาทิตย์ทั้งหมดกับขนาดของแผงรับรังสี จากรูปที่ 4.14 จากผลการทดลองที่ปริมาณเอทานอล 3 ลิตร ใช้ปริมาณน้ำ 20 ลิตร ซึ่งเป็นกรณีที่ผลิตน้ำร้อนได้อุณหภูมิสูงสุด พนวจ ประสิทธิภาพของแผงรับรังสีอาทิตย์จะมีค่าเพิ่มขึ้นหรือลดลงตามระดับความเข้มของรังสีอาทิตย์ จนกระทั่งเวลา 13.00 น. ประสิทธิภาพสูงสุดที่ 74 เปอร์เซ็นต์ หลังจากนั้นมีระดับความเข้ม ของรังสีอาทิตย์เริ่มลดลง ประสิทธิภาพของแผงรับรังสีก็จะมีค่าลดลงด้วย

4.1.15 เปรียบเทียบความสัมพันธ์ระหว่างประสิทธิภาพทางความร้อนของระบบผลิตน้ำร้อนกับค่ารังสีอาทิตย์



รูปที่ 4.15 เปรียบเทียบประสิทธิภาพทางความร้อนของระบบผลิตน้ำร้อนกับค่ารังสีอาทิตย์

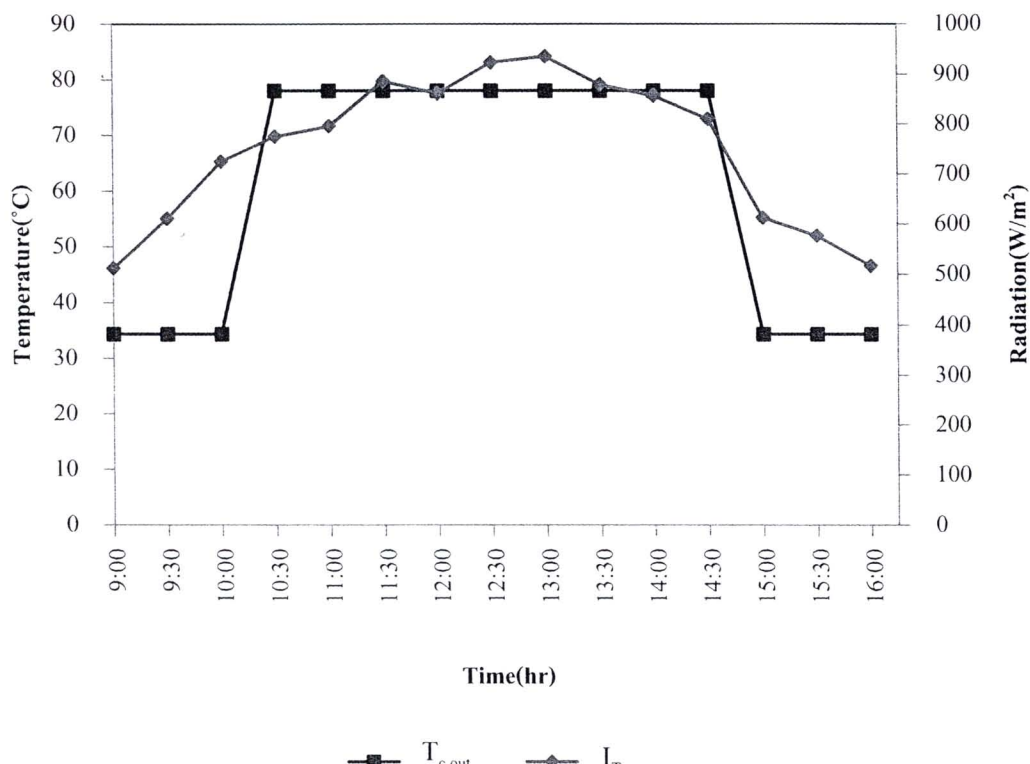
จากรูปที่ 4.15 แสดงความสัมพันธ์ของประสิทธิภาพของเครื่องผลิตน้ำร้อน จากผลการทดลองที่ปริมาณอุ่นต้น 3 ลิตร ใช้ปริมาณน้ำ 20 ลิตร ซึ่งเป็นกรณีที่ผลิตน้ำร้อนได้อุณหภูมิสูงสุด พบว่าประสิทธิภาพจากการถ่ายเทความร้อนของระบบเครื่องผลิตน้ำร้อนที่เวลา 09.00 น. จะมีค่าที่ 0 เปอร์เซ็นต์ จากนั้นประสิทธิภาพจะเพิ่มขึ้นเล็กน้อยแต่ไม่ถึง 1 เปอร์เซ็นต์ ตามอุณหภูมิสิ่งแวดล้อม จนกระทั่งเวลา 10.30 น. ประสิทธิภาพจะเพิ่มขึ้นอย่างรวดเร็ว อันเนื่องมาจากการอุ่นต้นของเครื่องผลิตน้ำร้อน โดยประสิทธิภาพจะเพิ่มขึ้นสูงสุดที่ 30 เปอร์เซ็นต์ ที่เวลา 11.30 น. จนกระทั่งเวลา 14.30 น. ประสิทธิภาพทางความร้อนของระบบผลิตน้ำร้อน ก็จะเริ่มลดลง อันเนื่องมาจากค่ารังสีอาทิตย์มีค่าลดลง ต่ำกว่า 750 W/m^2

4.2 ผลที่ได้จากแบบจำลองทางคณิตศาสตร์

เครื่องผลิตน้ำร้อนพลังงานแสงอาทิตย์แบบแผ่นเรียบ โดยใช้อุ่นต้นเป็นสารแอลกอฮอล์เปลี่ยนความร้อน ทำการทดลองในแบบจำลองทางคณิตศาสตร์ โดยการทำนายอุณหภูมิอุ่นต้นของเครื่องผลิตน้ำร้อน

อาทิตย์ เพื่อนำผลที่ได้มาเปรียบเทียบกับผลการทดลองที่เก็บข้อมูลได้จากเครื่องผลิตน้ำร้อนพลังงานแสงอาทิตย์แบบแผ่นเรียง โดยใช้อุณหภูมิอุ่นของอากาศเปลี่ยนความร้อน โดยใช้อุณหภูมิอุ่นของอากาศเข้า แพร่รับรังสีเคลื่อนที่ของแต่ละกรณี

4.2.1 เปรียบเทียบอุณหภูมิอุ่นของอากาศและอุณหภูมิของรังสีอาทิตย์กับค่ารังสีอาทิตย์



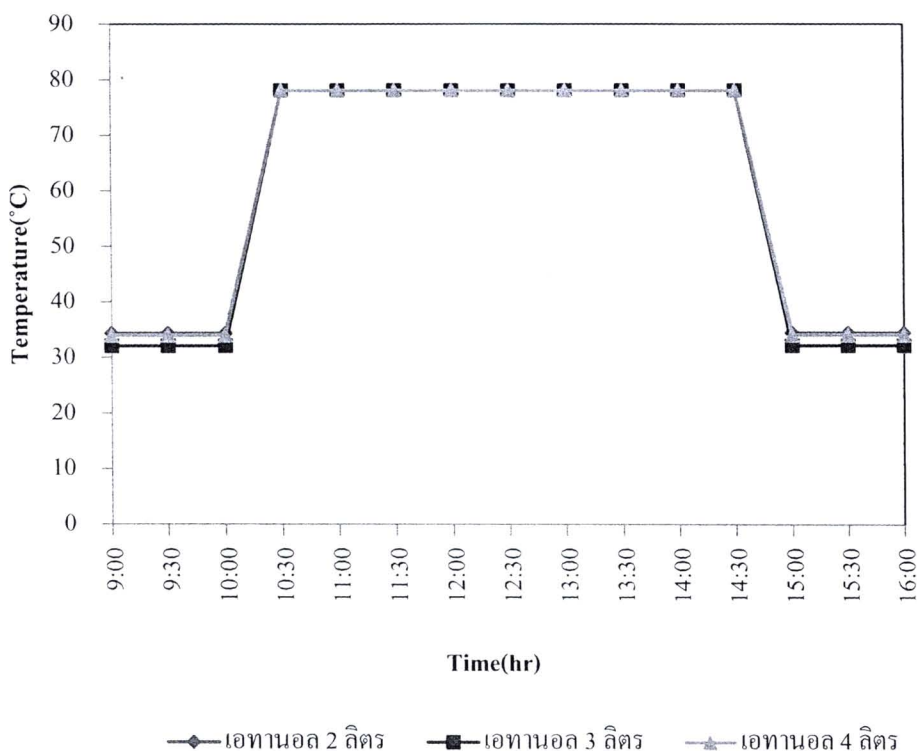
รูปที่ 4.16 เปรียบเทียบอุณหภูมิอุ่นของอากาศและอุณหภูมิของรังสีอาทิตย์กับค่ารังสีอาทิตย์

จากรูปที่ 4.16 กราฟแสดงการเปรียบเทียบค่ารังสีอาทิตย์ กับอุณหภูมิอุ่นของอากาศและอุณหภูมิของรังสีอาทิตย์ แบบจำลองทางคอมพิวเตอร์ ใช้ข้อมูลของวันที่ 1 ธันวาคม 2553 ทำการจำลองระหว่างเวลา 09.00 – 16.00 น. จากกราฟที่แสดงผลอุณหภูมิของรังสีอาทิตย์ในช่วงเวลา 09.00 – 10.30 น. จะมีอุณหภูมิค่อนข้างต่ำ ตามอุณหภูมิเฉลี่ยของบรรยายกาศ เนื่องจากอัตราการไหลดของอากาศลด เท่ากับ 0 เป็นผลมาจากการค่ารังสีอาทิตย์ที่ต่ำกว่า 750 W/m^2 อุ่นของไม่สามารถเดือดภายในได้ จากนั้นระหว่างเวลา 10.30 – 14.30 น. ค่ารังสีอาทิตย์จะสูงกว่า 750 W/m^2 อุ่นของอากาศจะเดือดภายในได้ ทำให้อุณหภูมิทางออกแพร่รับรังสีอาทิตย์สูงขึ้น ตามค่ารังสีอาทิตย์ที่สูงขึ้น จากนั้นเวลา 14.30 – 16.00 น. มีค่ารังสีอาทิตย์ที่ต่ำกว่า 750 W/m^2 อัตราการไหลดของอากาศลด ก็จะมีค่าเท่ากับ 0 ระบบผลิตน้ำร้อนก็จะหยุดการแลกเปลี่ยนความร้อน และยังพบว่า

อุณหภูมิอุตสาหกรรมของจากแพลงรับรังสีอาทิตย์อยู่ที่ 78 องศาเซลเซียส ในช่วงเวลา 10.30 - 14.30 น. เนื่องจากเครื่องผลิตน้ำร้อนไม่มีแรงดันภายในระบบ จึงไม่สามารถทำให้อุณหภูมิขององ Ketoan ลดลงขึ้นกว่าอุณหภูมิจุดเดือดได้

4.2.2 เปรียบเทียบอุณหภูมิอุตสาหกรรมของจากแพลงรับรังสีอาทิตย์ที่ปริมาณ Ketoan 2,

2.5 และ 3 ลิตร

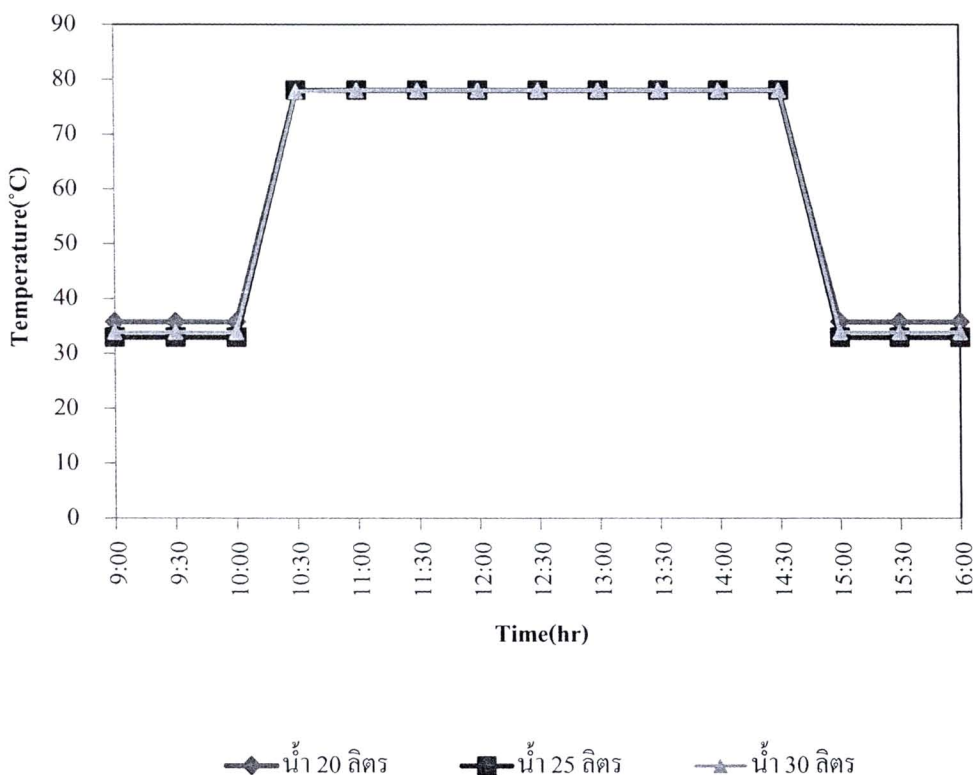


รูปที่ 4.17 เปรียบเทียบอุณหภูมิอุตสาหกรรมของจากแพลงรับรังสีอาทิตย์ที่ปริมาณ Ketoan 2, 2.5 และ 3 ลิตร

จากรูปที่ 4.17 กราฟแสดงการเปรียบเทียบอุณหภูมิอุตสาหกรรมของจากแพลงรับรังสีอาทิตย์ที่ปริมาณ Ketoan 2, 2.5 และ 3 ลิตร จากทั้ง 3 กรณีจะใช้ค่ารังสีอาทิตย์เฉลี่ยที่ใกล้เคียงกัน จากราฟผลที่ได้ จากแบบจำลองทางคณิตศาสตร์ จะเห็นได้ว่าช่วงเริ่มต้นการทำนายอุณหภูมิอุตสาหกรรมของจากแพลงรับรังสี จะมีอุณหภูมิตามอุณหภูมิเฉลี่ยของบรรยายกาศ ส่งผลให้อุตสาหกรรม Ketoan 0 เป็นผลมาจากการค่ารังสีอาทิตย์ที่ต่ำกว่า 750 W/m^2 ไม่สามารถทำให้ Ketoan ลดลงได้จนกระทั่งเวลา 10.30 น. อุณหภูมิก็จะเพิ่มขึ้นอย่างรวดเร็ว เนื่องจากการได้รับอิทธิพลจากระดับความเข้มของค่ารังสีอาทิตย์ที่เพิ่มขึ้นเกิน 750 W/m^2 Ketoan ก็จะเดือดลายเป็นไออกได้

อุณหภูมิทางออกแพงรับรังสี มีอุณหภูมิสูงขึ้น หลังจากนั้นเวลา 14.30 น. ความเข้มรังสีอาทิตย์ก็ลดลงต่ำกว่า 750 W/m^2 เอทานอลก็จะหยุดไหเลนี่องจากไม่สามารถเดือดภายในได้อีก ส่งผลให้อุณหภูมิเอทานอลออกจากการแพงรับรังสีลดลงอย่างรวดเร็วและหยุดการถ่ายเทความร้อนให้กับน้ำส่วนการเปรียบเทียบเอทานอลที่ 2, 2.3 และ 3 ลิตร จากราฟจะเห็นได้ว่าในช่วงระหว่างเวลา 10.30 - 14.30 น. อุณหภูมิจะไม่แตกต่างกัน อันเนื่องมาจากอุณหภูมิจุดเดือดของเอทานอลเดียวกันโดยใช้เอทานอลที่ 99.8 เปอร์เซ็นต์

4.2.3 เปรียบเทียบอุณหภูมิเอทานอลออกจากการแพงรับรังสีอาทิตย์ที่ปริมาณเอทานอล 3 ลิตร ใช้ปริมาณน้ำ 20, 25 และ 30 ลิตร



รูปที่ 4.18 เปรียบเทียบอุณหภูมิเอทานอลออกจากการแพงรับรังสีอาทิตย์ที่ปริมาณเอทานอล 3 ลิตร ใช้ปริมาณน้ำ 20, 25 และ 30 ลิตร

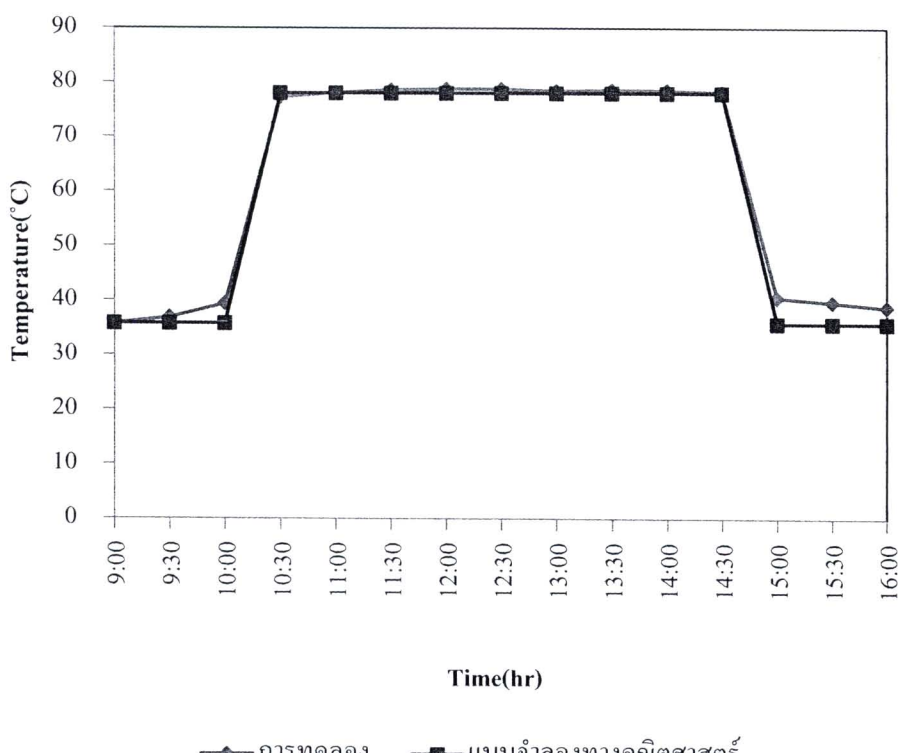
จากรูปที่ 4.18 กราฟแสดงการเปรียบเทียบอุณหภูมิเอทานอลออกจากการแพงรับรังสีอาทิตย์ที่ปริมาณเอทานอล 3 ลิตร ใช้ปริมาณน้ำ 20, 25 และ 30 ลิตร จะเห็นได้ว่าลักษณะของกราฟจะแตกต่างกันเล็กน้อยในช่วงเวลา 09.00 - 10.30 น. และช่วงเวลา 14.30 - 16.00 น. จะขึ้นอยู่กับอุณหภูมิเฉลี่ยของ

บรรยายกาศ เอทานอลไม่สามารถเดือดกลายเป็นไอลได้ เนื่องจากเอทานอลยังไม่ถึงจุดเดือด ส่วนช่วงเวลา 14.30 - 16.00 น. อุณหภูมิจะอยู่ที่ 78 องศาเซลเซียส เป็นอุณหภูมิที่เอทานอลถึงจุดเดือดและให้ผลวีน้ำมันในระบบผลิตน้ำร้อน นำความร้อนไปแลกเปลี่ยนให้กับน้ำมันในถังเก็บน้ำร้อน จากการเปรียบเทียบทั้ง 3 กรณี จะเห็นได้ว่า อุณหภูมิของเอทานอลที่จะไปถ่ายเทให้กับน้ำมีจำนวนเท่ากัน คั่งน้ำร้อนที่ปริมาณ 20 ลิตร จึงมีอุณหภูมิสูงกว่า ด้วยข้อจำกัดช่วงเวลาของวัน เอทานอลสามารถให้ผลวีนได้ 4 ชั่วโมง

4.3 ผลการเปรียบเทียบค่าที่ได้จากการทดลองกับแบบจำลองทางคณิตศาสตร์

การผลิตน้ำร้อนพลังงานแสงอาทิตย์แบบแผ่นเริบ โดยเป็นการทดลองในแบบจำลองทางคณิตศาสตร์ เพื่อนำผลที่ได้มาเปรียบเทียบกับผลการทดลองที่เก็บข้อมูล ได้จากเครื่องผลิตน้ำร้อนพลังงานแสงอาทิตย์แบบแผ่นเริบ โดยใช้เอทานอลเป็นสารแลกเปลี่ยนความร้อน โดยเปรียบเทียบในกรณีที่เอทานอล 2, 2.5 และ 3 ลิตร ดังรายละเอียดต่อไปนี้

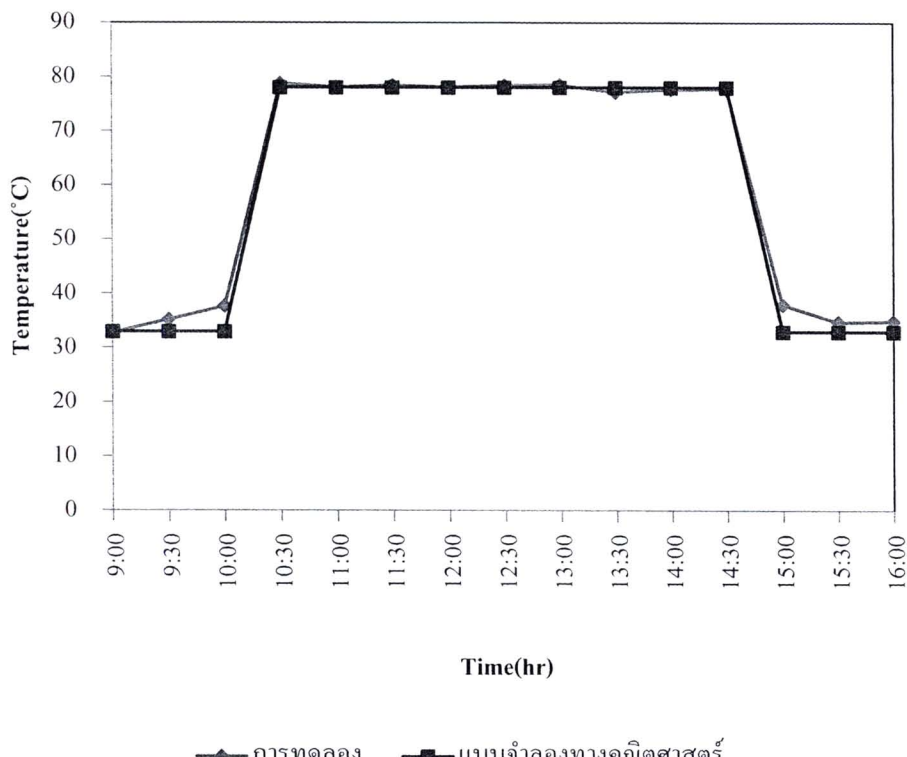
4.3.1 เปรียบเทียบระหว่างอุณหภูมิเอทานอลกับอุณหภูมิที่ได้จากการทดลองกับแบบจำลองทางคณิตศาสตร์ที่ปริมาณเอทานอล 2 ลิตร



รูปที่ 4.19 เปรียบเทียบความแตกต่างระหว่างอุณหภูมิทางออกแพลงรับรังสี จากผลการทดลองกับแบบจำลองทางคณิตศาสตร์ ปริมาณเอทานอล 2 ลิตร

จากรูปที่ 4.19 แสดงความแตกต่างระหว่างอุณหภูมิทางออกแพลงรับรังสีจากผลการทดลองกับแบบจำลองทางคณิตศาสตร์ ที่ปริมาณเอทานอล 2 ลิตร พบว่า ค่าที่ได้จากแบบจำลองทางคณิตศาสตร์จะเป็นลักษณะเดียวกันกับผลการทดลอง อันเนื่องมาจากคุณสมบัติของสารตัวกลาง คือ เอทานอลที่มีอุณหภูมิจุดเดือดอยู่ที่ 78 องศาเซลเซียส อาศัยแรงดันไออกในการขับเคลื่อนตัวเอง ดังนั้น อุณหภูมิจึงไม่สูงกว่าอุณหภูมิจุดเดือด จากกราฟที่ได้จึงมีลักษณะเดียวกัน ส่วนค่าความคลาดเคลื่อน RMSE เท่ากับ 3.91% ซึ่งแสดงว่าอุณหภูมิทางออกแพลงรับรังสีจากผลการทดลองกับแบบจำลองทางคณิตศาสตร์มีความใกล้เคียงกัน มีค่าความคลาดเคลื่อนที่สามารถยอมรับได้

4.3.2 เปรียบเทียบระหว่างอุณหภูมิเอทานอลออกจากแพลงรับรังสีจากการทดลองกับแบบจำลองทางคณิตศาสตร์ที่ปริมาณเอทานอล 2.5 ลิตร

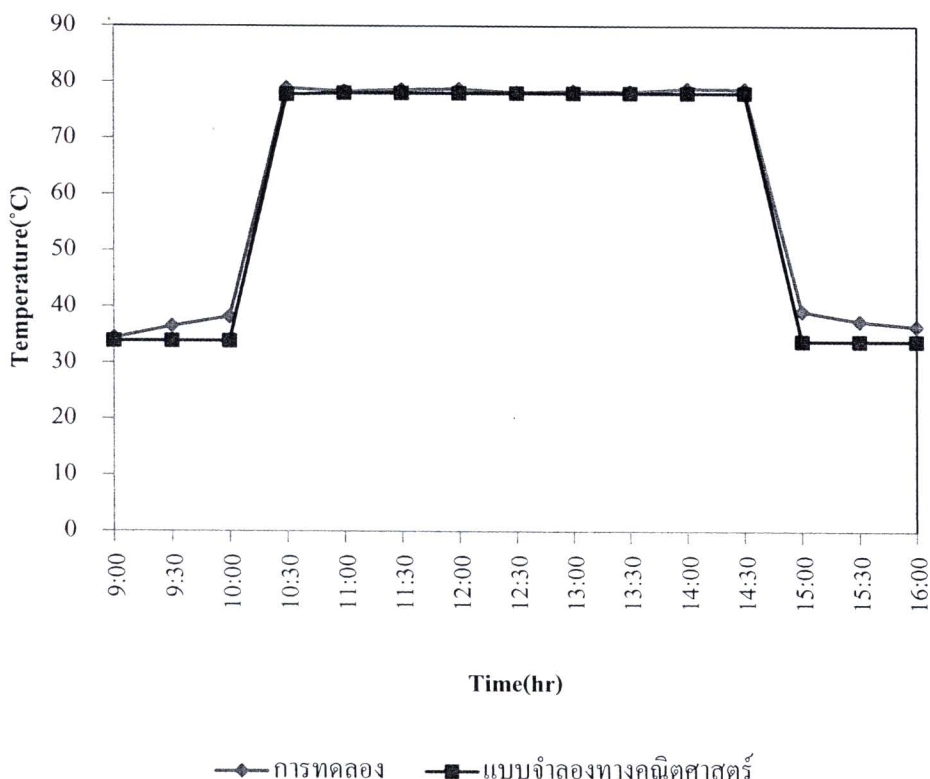


รูปที่ 4.20 เปรียบเทียบความสัมพันธ์ระหว่างอุณหภูมิทางออกแพลงรับรังสี จากการทดลองกับแบบจำลองทางคณิตศาสตร์ ปริมาณเอทานอล 2.5 ลิตร

จากรูปที่ 4.20 แสดงความแตกต่างระหว่างอุณหภูมิทางออกแพลงรับรังสีจากผลการทดลองกับแบบจำลองทางคณิตศาสตร์ ที่ปริมาณเอทานอล 2 ลิตร พบว่า ค่าที่ได้จากแบบจำลองทางคณิตศาสตร์จะเป็นลักษณะเดียวกันกับผลการทดลอง อันเนื่องมาจากคุณสมบัติของสารตัวกลาง คือ

ເອທານອລທີ່ມີອຸນຫຼວມຈຸດເຄືອດອູ້ທີ່ 78 ອົງສາເໜລເຊີຍສ ອາຫັນແຮງດັນໄວໃນການບັນເກລື່ອນຕົວເອງ ດັ່ງນັ້ນ ອຸນຫຼວມຈຶ່ງໄມ່ສູງກວ່າອຸນຫຼວມຈຸດເຄືອດ ຈາກກາຣົບທີ່ໄດ້ຈຶ່ງມີລັກນະໂດຍວັກນໍ ສ່ວນຄ່າຄວາມຄລາດເຄື່ອນ RMSE ເທົ່າກັນ 3.05% ທີ່ແສດງວ່າອຸນຫຼວມທີ່ຖານອອກແພງຮັບຮັງສີຈາກພິເຕະຫຼອດກັບແບບຈຳລອງທາງຄົມືຕົກສຕ່ຽວມີຄວາມໄກລ໌ເຄີຍກັນ ມີຄ່າຄວາມຄລາດເຄື່ອນທີ່ສາມາດຄົມອັນຮັບໄດ້

4.3.3 ເປົ້າຍນເທີນເຮັດວ່າງອຸນຫຼວມເອທານອລອອກຈາກແພງຮັບຮັງສີຈາກພິເຕະຫຼອດກັບແບບຈຳລອງທາງຄົມືຕົກສຕ່ຽວທີ່ປົ້ມາມເອທານອລ 3 ລິຕົຣ

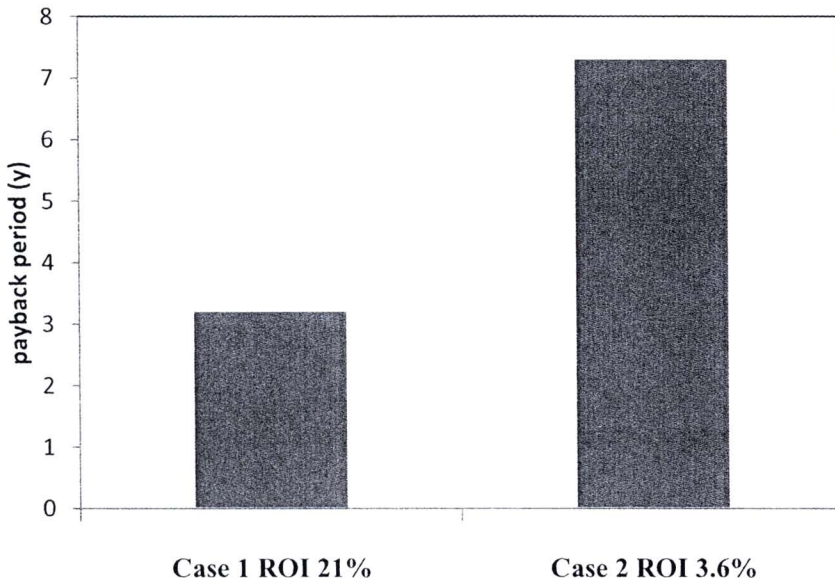


ຮູບທີ່ 4.21 ເປົ້າຍນເທີນຄວາມສັນພັນທີ່ຮ່ວາງອຸນຫຼວມທີ່ຖານອອກແພງຮັບຮັງສີ ຈາກພິເຕະຫຼອດກັບແບບຈຳລອງທາງຄົມືຕົກສຕ່ຽວທີ່ປົ້ມາມເອທານອລ 3 ລິຕົຣ

ຈາກຮູບທີ່ 4.21 ແສດງຄວາມແຕກຕ່າງຮ່ວາງອຸນຫຼວມທີ່ຖານອອກແພງຮັບຮັງສີຈາກພິເຕະຫຼອດກັບແບບຈຳລອງທາງຄົມືຕົກສຕ່ຽວ ທີ່ປົ້ມາມເອທານອລ 3 ລິຕົຣ ພບວ່າ ຄ່າທີ່ໄດ້ຈາກແບບຈຳລອງທາງຄົມືຕົກສຕ່ຽວຈະເປັນລັກນະໂດຍວັກນັ້ນກັບພິເຕະຫຼອດ ອັນເນື່ອງມາຈາກຄຸນສົມບັດຂອງສາຮັກຄາງ ສື່ບັດ ເອທານອລທີ່ມີອຸນຫຼວມຈຸດເຄືອດອູ້ທີ່ 78 ອົງສາເໜລເຊີຍສ ອາຫັນແຮງດັນໄວໃນການບັນເກລື່ອນຕົວເອງ ດັ່ງນັ້ນ ອຸນຫຼວມຈຶ່ງໄມ່ສູງກວ່າອຸນຫຼວມຈຸດເຄືອດ ຈາກກາຣົບທີ່ໄດ້ຈຶ່ງມີລັກນະໂດຍວັກນໍ ສ່ວນຄ່າຄວາມຄລາດເຄື່ອນ RMSE ເທົ່າກັນ 3.49% ທີ່ແສດງວ່າອຸນຫຼວມທີ່ຖານອອກແພງຮັບຮັງສີຈາກພິເຕະຫຼອດກັບແບບຈຳລອງທາງຄົມືຕົກສຕ່ຽວມີຄວາມໄກລ໌ເຄີຍກັນ ມີຄ່າຄວາມຄລາດເຄື່ອນທີ່ສາມາດຄົມອັນຮັບໄດ້

4.4 ผลการวิเคราะห์ทางเศรษฐศาสตร์

การลงทุนออกแบบสร้างเครื่องผลิตน้ำร้อนพลังงานแสงอาทิตย์แบบแผ่นเรียบโดยใช้อุปกรณ์เป็นสารแอลเเพลี่ยนความร้อน ได้ดำเนินการจัดสร้างจากวัสดุและอุปกรณ์ที่จัดหาซื้อได้ง่ายและมีขายทั่วไป โดยได้ลงทุนไปเป็นจำนวนเงิน 14,170 บาท มีอายุการใช้งานคาดว่าประมาณ 10 ปี ไม่คิดมูลค่าซาก ซึ่งสามารถวิเคราะห์ทางเศรษฐศาสตร์ได้ดังนี้



รูปที่ 4.22 แสดงประเภทของระบบทำน้ำร้อนกับระยะเวลาคืนทุน

กรณีที่ 1 วิเคราะห์ระหว่างเครื่องผลิตน้ำร้อนพลังงานแสงอาทิตย์โดยใช้อุปกรณ์เป็นสารแอลเเพลี่ยนความร้อนกับเครื่องทำน้ำอุ่น ขนาด 3500 W กำหนดให้ค่าใช้จ่ายจากการแสไฟฟ้าของเครื่องทำน้ำอุ่นเป็นรายได้เฉลี่ยต่อปี โดยเครื่องทำน้ำอุ่น ขนาด 3500 W ใช้งาน 1.5 ชั่วโมง/วัน เป็นเวลา 8×30 วัน/ปี เท่ากับ 240 วัน/ปี คิดที่ค่าไฟฟ้า 3.5 บาท/หน่วย คิดรายได้เฉลี่ยต่อปี 4,410 บาท/ปี ผลการประเมินทางด้านเศรษฐศาสตร์ มีอัตราการคืนทุน 21 % มีระยะเวลาคืนทุน 3.6 ปี (3 ปี 6 เดือน)

กรณีที่ 2 วิเคราะห์ระหว่างเครื่องผลิตน้ำร้อนพลังงานแสงอาทิตย์โดยใช้อุปกรณ์เป็นสารแอลเเพลี่ยนความร้อนกับเครื่องทำน้ำร้อนพลังงานแสงอาทิตย์ ที่ใช้บีมน้ำขนาด 330 W กำหนดให้ค่าใช้จ่ายจากกระแสไฟฟ้าของเครื่องทำน้ำร้อนเป็นรายได้เฉลี่ยต่อปี โดยเครื่องทำน้ำร้อนพลังงานแสงอาทิตย์ที่ใช้บีมน้ำขนาด 330 W ใช้งาน 7 ชั่วโมง/วัน เป็นเวลา 240 วัน/ปี คิดที่ค่าไฟฟ้า 3.5 บาท/หน่วย คิดรายได้เฉลี่ยต่อปี 1,940 บาท/ปี ผลการประเมินทางด้านเศรษฐศาสตร์ มีอัตราการคืนทุน 3.6 % มีระยะเวลาคืนทุน 7.3 ปี (7 ปี 3 เดือน)